

EIDGENÖSSISCHE TECHNISCHE HOCHSCHULE ZÜRICH

Institut für Geophysik

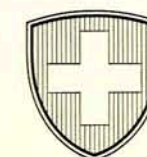
Capwell



Jahresbericht 1958

des

Schweizerischen Erdbebendienstes



Jahresbericht 1958

des

Schweizerischen Erdbebendienstes

Inhaltsverzeichnis	Seite
Verzeichnis der Erdbebenstationen	3
Verzeichnis der Seismographen	3
Personal und Betrieb des Erdbebendienstes	4
Über die seismische Aktivität im Jahre 1958	4
Intensitätsskala de Rossi-Forel	4
Tabelle I	5
Tabelle II	6
Schweizerische Literatur zur Geophysik im Jahre 1958	28
Tafeln	Anhang

Verzeichnis der Erdbebenstationen

	Zürich = Zü	Chur = Ch	Neuchâtel = Ne	Basel = Ba
Personal	Prof. Dr. F. Gaßmann Vorstand des Instituts für Geophysik der ETH. P.D. Dr. M. Weber, Leiter des Schweiz. Erdbebendienstes E. Peter W. Schneibel S. Renidear	Prof. Dr. h. c. A. Kreis Leiter der Erdbebenstation	Prof. Dr. J.-P. Blaser Direktor des Observatoires Dr. R. Payot	Prof. Dr. W. Becker Direktor der Astronomisch-Meteorol. Anstalt. Dr. M. Bider
Aufstellungsort der Seismographen	Schweiz. Erdbebenwarte Degenried	Kantonsschule	Observatoire	Astronomisch-Meteorologische Anstalt Binningen bei Basel
Geogr. Breite	47° 22' 07,2" N	46° 50' 59,5" N	46° 59' 50,6" N	47° 32' 24" N
Geogr. Länge	8° 34' 49,5" E	9° 32' 12,1" E	6° 57' 26,2" E	7° 34' 58,5" E
Meereshöhe	604 m	630 m	487 m	309 m
Untergrund	Sandsteine und Mergel der ob. Süßwassermolasse	Bündnerschiefer des Penninikums	Urgonkalke der untern Kreideformation	Nagelfluh der Hochterrasse

Verzeichnis der Seismographen

Station	Seismograph	Masse	Komponente	Registrierart	Vergrößerung für schnelle Schwingungen	Eigenperiode bei ausgeschalt. Dämpfung	Dämpfungsverhältnis	Registrier-geschwindigkeit
		kg				Sek.		mm/Min.
Zürich	Universalseismo-graph de Quervain-Piccard (QP)	20 600	N-S	mechanisch auf Ruß	1310	2,4	3,0 : 1	90
			E-W		1180	3,2	3,0 : 1	90
			V		1400	1,3	2,0 : 1	90
	Mainka	450	N-S	"	120	8,0	3,0 : 1	25
			E-W	"	120	7,0	3,0 : 1	25
Chur	Kreis QP	1 050 13 000	V	"	180	2,6	2,5 : 1	30
			X = N 62° W	"	1100	2,8	2,5 : 1	60
			Y = N 28° E	"	1350	2,6	2,0 : 1	60
			V	"	2400	1,5	1,9 : 1	60
Neuchâtel	QP	19 000	N-S	"	1660	2,7	4,2 : 1	60
			E-W	"	1640	2,7	3,8 : 1	60
			V	"	1950	1,1	2,3 : 1	60
Basel	QP	19 500	N-S	"	1150	3,8	1,7 : 1	60
			E-W	"	1160	3,6	1,7 : 1	60
			V	"	1450	2,1	2,5 : 1	60

Personal und Betrieb des Erdbebendienstes

Die laufenden Arbeiten des Erdbebendienstes sowie die Zusammenstellung der Tabellen besorgten die Herren W. Schneibel und S. Renidear.

Die Seismographen wurden weiterhin von Herrn K. Hürzeler betreut.

Wegen größeren Revisionsarbeiten wurde die Erdbebenwarte Zürich am 1. Juli für längere Zeit stillgelegt.

Die Apparate aller andern Stationen waren mit Ausnahme kleiner Unterbrüche dauernd in Betrieb.

Über die seismische Aktivität im Jahre 1958

Wir erhielten Meldungen über 43 verspürten Erschütterungen. Davon sind eindeutig 27 seismischen Ursprungs. Die Erdbebenaktivität hat im Wallis wieder etwas zugenommen. Es wurden nämlich 10 Beben (im Vorjahr 2) schwach verspürt.

Als neu aufgetretener Erschütterungsherd wäre derjenige im Onsernonetal (Tessin) vom 30. Juli zu nennen. Auch dieses Jahr wurde wieder ein Beben aus dem Auslande verspürt. Sein Herd liegt in den Lechtaler Alpen (Österreich).

Die 27 Erschütterungen rein seismischen Ursprungs verteilen sich auf die verschiedenen Tagesstunden bzw. Monate wie folgt:

auf Tagesstunden

0-2	2-4	4-6	6-8	8-10	10-12	12-14	14-16	16-18	18-20	20-22	22-24
2	3	3	2	5	—	1	5	1	4	—	1

auf Monate

Jan.	Febr.	März	April	Mai	Juni	Juli	Aug.	Sept.	Okt.	Nov.	Dez.
—	4	2	2	—	1	4	2	3	3	2	4

Von den vier Stationen des Schweizerischen Erdbebendienstes wurden dieses Jahr 429 Beben aufgezeichnet. An der Bebenhäufigkeit tragen die Kurileninseln und die Aleuten den Hauptanteil bei.

Intensitätsskala de Rossi-Forel

Für die Beurteilung der Stärke der Erdstöße wurde wie früher die Rossi-Forel'sche oder italienisch-schweizerische Intensitätsskala zugrunde gelegt. Sie lautet:

- Grad I Mikroseismische Bewegung, notiert von einem Seismographen oder von mehreren Instrumenten derselben Art, aber nicht imstande, Seismographen verschiedener Konstruktion in Funktion zu versetzen. Konstatiert von einem geübten Beobachter.
- II Stoß, registriert von Seismographen verschiedenen Systems, konstatiert von einer kleinen Anzahl, im Zustande der Ruhe befindlicher Beobachter.
- III Erschütterung, beobachtet von mehreren Personen in der Ruhe; stark genug, daß Dauer oder Richtung geschätzt werden können.
- IV Erschütterung, beobachtet von Personen in Tätigkeit; Erschütterung beweglicher Objekte, der Fenster, Türen, Krachen der Dielen.
- V Erschütterung allgemein von der ganzen Bevölkerung bemerkt; Erschütterung größerer Gegenstände, der Möbel, Betten; Anschlagen einzelner Hausglocken.
- VI Allgemeines Erwachen der Schlafenden; allgemeines Anschlagen der Hausglocken, Schwanken der Kronleuchter, Stillstehen von Uhren, sichtbares Schwanken der Bäume und Gesträucher. Einzelne Personen verlassen erschreckt die Häuser.
- VII Umstürzen von beweglichen Gegenständen, Ablösen von Gipsstücken aus der Decke und von den Wänden, Anschlagen von Kirchenglocken, allgemeiner Schrecken, noch keine Beschädigung der Bauwerke.
- VIII Herabstürzen von Kaminen, Risse in den Mauern von Gebäuden.
- IX Teilweise oder gänzliche Zerstörung einzelner Gebäude.
- X Großes Unglück, Ruinen, Umsturz von Erdschichten, Entstehen von Spalten in der Erdrinde, Bergstürze.

Anmerkung: Die Zeitangaben beziehen sich auf die mittlere Zeit von Greenwich. (G. M. T.)

Tabelle I In der Schweiz 1958 verspürte Erdbeben

Nr.	Datum	G. M. T. h m s	Epizentralgebiet und erschütterte Gebiete	Grad Rossi-Forel	Anzahl Meldg.	Tab. II Nr.	Bemerkungen
	1958						
	29. Jan.	10 35 40 42	Zürich-Seebach	? ? ?	3 3 3	—	Unterirdisches Rollen von je 20—25 sec Dauer aus Richtung NNW
1	6. Febr.	9 37	Sitten (Wallis) (Tafel 1)	IV	18	—	1 Stoß, allgemein verspürt
2	8. Febr.	7 41	Wiesen, Filisur (Grbd.) (Tafel 1)	III—IV	wenige	60	Möglicherweise ca. 40 min vorher schon ein leichter Stoß in Wiesen verspürt
3	11. Febr.	19 48	Sitten (Wallis) (Tafel 1)	IV	4	—	Mäßig verspürt
4	26. Febr.	9 30	Zürich (Tafel 1)	?	3	—	
5	13. März	14 37,6*	Montana 46° 3' N, 7° 4' E (Wallis) (Tafel 6)	III	wenige	95	kurz, explosionsartig
6	30. März	16 10 16s*	BCIS 46° 0' N, 5° 9' E Region Frangy, Savoyen	—	1	112	In Wattwil (St. G.) begann ein aufgehängter Kessel zu schwingen
	7. Apr.	18 15	Zürich, Brunngasse	?	mehrere	—	Keine Bewegung verspürt. Nur Knall gehört. Umfrage nach Explosion negativ. Scheibendefekt, keine Bewegung
7	12. Apr.	5 53 28s*	St. Galler Rheintal 47° 15' N, 9° 30' E Sax, Frümisen, Salez, Sennwald (Tafel 2)	?	mehrere	128	Pressemeldung
8	16. Apr. 20. Apr.	3 16 18 36	Kippel (Wallis) (Tafel 3) Monthey (Val d'Illeiez, Wallis)	II—III ?	3 1	—	starkes Geräusch
9	4. Juni 23. Juli	8 30 ca. 00 h 30 m	Hérémenche (Wallis) (Tafel 3) Zürich, Wasserwerkstraße	? ?	1 1	180	schaukeln
10	24. Juli	4 45	Zürich, Sihlporte (Tafel 1)	?	6	—	Zittern des Gebäudes, 5. Et.
11	25. Juli	2 25 53s*	Mittelwallis 46° 1/3 N, 7° 1/2 E Stärke V in Sion, Gsteig; Stärke IV—V in Chippis, Stärke IV in Montana, Gryon/Bex. (Tafel 4)	V	allgemein	244	Möglicherweise 1 Stunde früher; vgl. Tabelle II, Nr. 251
12	27. Juli 30. Juli	8 30 4 30	Gsteig (Bern) (Tafel 3) Chippis (Wallis)	? ?	3 1	—	1 Person wurde geweckt
13	30. Juli	12 h 51 m 10s*	Valle Onsernone 46° 2' N, 8° 6' E Verspürt in Valle Verzasca, Valle Maggia, Valle di Campo, Valle di Vergeletto, Valle Onsernone, Valle Vigezzo, Centovalli, Malcantone (Tafel 1)	V	allgemein	254	
14	14. Aug.	00 55	Jaun (Kt. Fribourg) (Tafel 2)	IV	allgemein	273	3 Stöße allgem. verspürt
15	29. Aug.	5 39 31s*	Schanfigg 46° 3/4 N, 9° 3/4 E Stärke V in Passugg; Stärke IV—V in Peist; Stärke IV in Arosa, Litzirüti, Molinis, Tschierschen, Davos, Küblis; Stärke III—IV in Chur, Tamins, Rodels, Wiesen, Parpan, Landquart, Ragaz, Seewis, Schiers; Stärke II in Zürich (Tafel 2)	V	54	296	In einer Zürcher Bank wurde die Alarmanlage ausgelöst
	29. Aug.	17 50	Zürich, Nordstraße	?	1	—	Leichte Erschütterung
16	15. Sept.	19 h 14 m 23s*	Mischabel-Gruppe 46° N, 7° 3/4 E Zermatt, Chippis, Täsch. (Wallis) (Tafel 5)	V	allgemein	313	allgemein verspürt
17	24. Sept. 29. Sept.	19 26 03 30 / 21 30	Montana (Wallis) (Tafel 6) Saas (Graubünden)	? ?	2 1	—	
18	30. Sept.	8 h 45 m 27s*	Lechtaler-Alpen, Tirol 47° 21' N, 10° 34' E Das Beben wurde östlich der Linie Basel—Solothurn—Thun—Gotthard—Tessin verspürt (Tafel 6)	—	490	327	siehe Beilage zum Bulletin
	30. Sept.	8 51	Zürich, Walchstraße	—	1	—	} Je 1 Person will einen Nachstoß verspürt haben
	30. Sept.	21 39	St. Gallen	—	1	1	
19	3. Okt.	15 16	Zürich-Leimbach (Tafel 1)	III—IV	2	—	
20	11. Okt.	6 35	Erstfeld (Uri) (Tafel 5)	IV	allgemein	—	allgemein verspürt
21	12. Okt. 23. Okt.	1 58 1 20	Schuls (Graubünden) (Tafel 5) Zürich, Limmatquai	IV ?	viele 1	—	Geräusche vor der Erschütterung 1 Person wurde geweckt
22	4. Nov. 6. Nov.	14 50 23 20	Sitten (Wallis) (Tafel 1) Lenzerheide	IV—V ?	allgemein 1	—	allgemein verspürt
	17. Nov.	22 50	Zürich-Wollishofen	?	1	—	Gefrorener Schnee rutschte vom Dache. 1 Person wurde geweckt
23	18. Nov.	15 38	Saanen (Bern) (Tafel 5)	?	2	—	
24	4. Dez.	03 h 05,5 m*	Engelberger Rotstock 46° 50' N, 8° 30' E; Stärke IV in Nesselal, Oberwald; Stärke IV in Nesselal, Oberwald; Stärke III—IV in Innertkirchen, Meiringen, Mühlebach, Fiesch (Tafel 4)	4	viele	—	
25	14. Dez.	15 h—16 h	Zürich-Dufourstraße (Tafel 1)	?	3	—	dumpfes Rollen
26	18. Dez.	19 25	Hirzelspitze bei Wädenswil (Tafel 3)	III—IV	1	—	2 Stöße, Bilder verschoben
27	18. Dez. 23. Dez.	22 35 6 04	Chippis (Wallis) (Tafel 2) Zürich	ca. IV ?	5 4	—	tiefes Rollen Hauptbahnhof

* Herdzeit, aus Registrierungen bestimmt.

Tabelle II In der Schweiz 1958 registrierte Erdbeben

Bemerkungen

1. Die Zeitangaben beziehen sich auf die *mittlere Zeit von Greenwich* (G. M. T.).
2. Die Buchstabengruppen BCIS und USCGS sind gebräuchliche Abkürzungen für Bureau Central International de Séismologie bzw. United States Coast and Geodetic Survey.
3. Die Abkürzungen bedeuten: Ba = Basel, Ne = Neuchâtel, Ch = Chur, Zü = Zürich.
D = Dilatation, ML = Minuten-Lücke, K = Kompression
4. Die Ablesungen beziehen sich auf die de Quervain-Piccard-Seismographen.

Nr.	Datum	Station	Epizentral-entfernung nach S-P	Max. Doppel-Amplit.	Ungef. Dauer der Reg.	Tab. I Nr.	Phasen, Bemerkungen
	1958		km	mm	min		
1	Jan. 2.	Ch Zü Ne	1450 1500 1625	9 2 2	8 9 30	— — —	eP 02 h 11 m 40.6 s D eS 02 h 14 m 05.4 s ✓ eP 02 h 11 m 55 s ML eS 02 h 14 m 27 s ✓ eP 02 h 11 m 59.3 s eS 02 h 14 m 42 s ✓ USCGS: H = 02 h 08 m 15 s 36° 1/2 N, 22° E auf der Breite der Südküste von Griechenland.
2	2.	Ba	—	2	6	—	eP 13 h 45 m 42.8 s eS 13 h 50 m 48 s ✓
3	2.	Ba	—	1	4	—	eP 21 h 24 m 27.8 s ✓ USCGS: H = 21 h 12 m 07 s, h ca. 60 km, 45° N, 151° E, Kurilen-Inseln
4	3.	Ne Ba	— —	1 1	6 1	— —	eP 06 h 32 m 03.6 s ✓ eP 06 h 32 m 08.0 s ✓ USCGS: H = 06 h 24 m 31 s, 32° N, 41° 1/2 W, Atlantischer Ozean
5	3.	Ne Ba	— —	<1/2 1	4 1	— —	eP 06 h 57 m 34.0 s ✓ eP 06 h 57 m 38.6 s ✓ USCGS: H = 06 h 49 m 56 s, 31° N, 40 1/2 W, Atlantischer Ozean
6	3.	Ba	—	2	6	—	eP 07 h 09 m 49.6 s e 07 h 14 m 17 s ✓ USCGS: H = 07 h 02 m 07 s, 31° N, 40° 1/2 W, Atlantischer Ozean
7	3.	Ba	—	2	6	—	eP 08 h 13 m 10.8 s D e 08 h 17 m 38 s ✓
8	3.	Ne Ba	— —	<1/2 1	3 1	— —	eP 08 h 41 m 01.8 s ✓ eP 08 h 41 m 04.2 s ✓ USCGS: H = 08 h 33 m 31 s, 32° 1/2 N, 41° W, Atlantischer Ozean
9	3.	Ba Ch	— —	1 1/2	1 2	— —	e 17 h 59 m 42.2 s ✓ eP 17 h 59 m 48.6 s ✓ USCGS: H = 17 h 47 m, 12 s, 22° S, 65° E, Region der Maskarenen-Inseln
10	3.	Ba Zü	— —	1 1	1 3	— —	e 19 h 45 m 27.6 s ✓ e 19 h 45 m 30.2 s ✓ BCIS: H = 19 h 41.2 m, ca. 42° 1/2 N, 19° E, Küste von Jugoslawien
11	4.	Ne Ba	— —	1 2	6 6	— —	eP 06 h 47 m 18.9 s ✓ eP 06 h 47 m 20.3 s e 06 h 50 m 34 s ✓ USCGS: H = 06 h 39 m 45 s, 31° 1/2 N, 40° 1/2 W, Atlantischer Ozean
12	5.	Ba Zü Ne	— — —	7 2 4	30 45 90	— — —	eP 11 h 41 m 09.6 s e 11 h 47 m 13 s e 11 h 58 m 09 s e 12 h 04 m 13 s ✓ eP 11 h 41 m 12.9 s e 11 h 44 m 53 s e 11 h 59 m 19 s ✓ eP 11 h 41 m 16.0 s e 12 h 02 m 26 s e 12 h 05 m 14 s ✓ USCGS: H = 11 h 30 m 44 s, 56° 1/2 N, 121° E, Region des Stanowoi-Gebirges, Sibirien
13	5.	Ba	—	2	6	—	eP 20 h 28 m 40.0 s ✓
14	6.	Ba Ne	— —	2 <1/2	3 10	— —	eP 02 h 03 m 02.1 s D eP 02 h 03 m 07.0 s ✓ USCGS: H = 01 h 54 m 30 s, 37° 1/2 N, 71° E, Hindukusch
15	9.	Ch Zü Ne Ba	180 280 — 345	5 2 1 3	2 2 6 1	— — — —	eP 11 h 59 m 05.8 s iP 11 h 59 m 09.3 s eS 11 h 59 m 26.4 s ✓ eP 11 h 59 m 23.3 s eS 11 h 59 m 55 s ✓ eP 11 h 59 m 26.1 s e 12 h 00 m 14 s ✓ eP 11 h 59 m 32.7 s eS 12 h 00 m 13 s ✓ BCIS: H = 11 h 58.5 m, ca. 45° N, 11° 1/4 E, Nord-Italien
16	9.	Ba Ne	— —	4 1	2 6	— —	eP 17 h 48 m 35.7 s K eP 17 h 48 m 38.8 s ✓ USCGS: H = 17 h 39 m 24 s, 44° 1/2 N, 85° E, Provinz Sinkiang, China
17	11.	Ba	—	2	4	—	ePKP 13 h 38 m 52.1 s ✓ USCGS: H = 13 h 18 m 47 s, 23° 1/2 S, 177° W, Region der Tonga-Inseln
18	13.	Ba	—	1	3	—	eP 00 h 14 m 25.2 s ✓ USCGS: H = 00 h 02 m 24 s, h ca. 100 km, 52° 1/2 N, 177° E, Ratten-Inseln, Aleuten
19	13.	Ba	—	2	3	—	e 16 h 08 m 51.2 s ✓

Nr.	Datum	Station	Epizentral-entfernung nach S-P	Max. Doppel-Amplit.	Ungef. Dauer der Reg.	Tab. I Nr.	Phasen, Bemerkungen
	1958		km	mm	min		
20	Jan. 13.	Ch Zü Ba Ne	— — — —	4 1 3 1	2 4 4 10	— — — —	eP 20 h 26 m 24.1 s eP 20 h 26 m 28.1 s eP 20 h 26 m 31.2 s D eP 20 h 26 m 33.3 s USCGS: H = 20 h 14 m 27 s, 11° 1/2 N, 92° 1/2 E, Andamanen-Inseln
21	14.	Ne Ba	— —	1 1	10 4	— —	eP 13 h 40 m 10.7 s e 13 h 43 m 01 s e 13 h 40 m 21.8 s USCGS: H = 13 h 34 m 40 s, 39° 1/2 N, 41° E, Ost-Türkei
22	15.	Ba	—	1	2	—	eP 04 h 22 m 50.8 s K USCGS: H = 04 h 10 m 45 s, 43° N, 136° E, bei der Küste von Sibirien
23	15.	Zü Ba Ne	440 525 640	1 2 1	2 6 6	— — —	eP 15 h 12 m 11.6 s eS 15 h 13 m 06 s eP 15 h 12 m 21.0 s K eS 15 h 13 m 27 s eP 15 h 12 m 21.2 s eS 15 h 13 m 42 s Wien 46° 6' N, 13° 7' E, Region von Villach, Kärnten. Verspürt V—VI. BCIS: H = 15 h 11.3 m
24	15.	Ne Ba Zü Ch	10500 10500 10500 10500	5 7 — 2	90 90 — 45	— — — —	iP 19 h 27 m 46.2 s i 19 h 28 m 06 s ePP 19 h 31 m 34 s eSKS 19 h 38 m 19 s Azimuth SW—W eP 19 h 27 m 49.2 s K eSKS 19 h 38 m 21 s eL 20 h 00 m eP 19 h 27 m 50.6 s ML e 19 h 28 m 12 s eSKS 19 h 38 m 24 s eP 19 h 27 m 54 s ML iPP 19 h 31 m 47 s eSKS 19 h 38 m 24 s eL ca. 20 h 01 m 10 s USCGS: H = 19 h 14 m 29 s, h ca. 100 km, 16° 1/2 S, 71° 1/2 W, Süd-Peru Beträchtliche Schäden. 21 Tote, 90 Verletzte
25	15.	Ne Ba	— —	1 2	10 10	— —	e 22 h 35 m 09.0 s e 22 h 35 m 26.2 s D e 22 h 44 m 38 s USCGS: H = 22 h 15 m 44 s, 13° 1/2 S, 167° E, Neue Hebriden
26	16.	Ch Zü Ba Ne	— — — —	<1/2 1 4 4	10 15 10 30	— — — —	eP 04 h 21 m 31.1 s e 04 h 26 m 02.5 s eP 04 h 21 m 42.7 s eP 04 h 21 m 51.5 s D e 04 h 26 m 58 s e 04 h 31 m 31 s eP 04 h 21 m 54.1 s ML e 04 h 22 m 33 s e 04 h 26 m 45 s BCIS: H = 04 h 18 m 13 s, 39° 1/2 N, 25° 1/4 E, Ägäisches Meer Verspürt auf den Inseln Lemnos, Lesbos und Chios sowie schwach in Athen (nach Athen)
27	17.	Ne Ba Zü	— — —	1 2 1	6 6 10	— — —	ePKP 07 h 35 m 23.5 s e 07 h 35 m 33.4 s e 07 h 35 m 34.2 s USCGS: H = 07 h 15 m 38 s, 52° S, 139° 1/2 E, Antarktischer Ozean
28	17.	Ne	—	1	1/2	—	iS 18 h 10 m 12.5 s
29	18.	Ba Ch Zü Ne	— — — —	2 <1/2 2 1	10 4 6 6	— — — —	e 11 h 01 m 17.1 s e 11 h 02 m 44.3 s e 11 h 03 m 36.4 s e 11 h 04 m 59.9 s BCIS: H = 11 h 00.3 m, ca. 41° 1/4 N, 20° 3/4 E, Albanien
30	18.	Ba Ne	— —	2 1	10 10	— —	e 15 h 26 m 15.5 s e 15 h 35 m 34 s eP 15 h 26 m 27.2 s USCGS: H = 15 h 14 m 26 s, 29° S, 13° W, im Norden von Tristan da Cunha
31	19.	Ch Zü Ba Ne	— — — —	<1/2 — 2 <1/2	5 — 10 10	— — — —	eP 03 h 55 m 00.9 s K e 03 h 56 m 39.0 s eP 03 h 55 m 10.2 s eP 03 h 55 m 19.3 s e 04 h 04 m 30 s e 03 h 57 m 03.2 s BCIS: H = 03 h 52 m 51 s, 42° N, 21° 1/4 E, Jugoslawien
32	19.	Ne Ba Zü Ch	— 9600 9800 9800	15 20 5 6	>120 >120 60 90	— — — —	iP 14 h 20 m 08.2 s e 14 h 23 m 37 s e 14 h 25 m 39 s e 14 h 30 m 29 s eP 14 h 20 m 10.3 s eS 14 h 30 m 52 s eL 15 h 14 m eP 14 h 20 m 13.6 s eS 14 h 31 m 04 s eP 14 h 20 m 17.0 s K i 14 h 20 m 20.3 s K eS 14 h 31 m 06.6 s i 14 h 31 m 12.8 s USCGS: H = 14 h 07 m 27 s, h ca. 60 km, 1° 1/2 N, 79° 1/2 W, bei der Küste von Ecuador. Schadenbeben
33	19.	Ba Zü Ch	— 9700 9600	2 — 2	6 — —	— — —	eP 14 h 56 m 13.7 s eP 14 h 56 m 16.7 s eS 15 h 07 m 02.3 s } Dem vorhergehenden eP 14 h 56 m 20.1 s eS 15 h 07 m 01.1 s } Beben überlagert USCGS: H = 14 h 43 m 24 s, h ca. 60 km, 1° 1/2 N, 79° 1/2 W, bei der Küste von Ecuador. Leichte Schäden in Nord-Ecuador. Nachstoß.
34	20.	Ba	—	2	10	—	eP 03 h 56 m 13.9 s e 04 h 05 m 36 s

Nr.	Datum	Station	Epizentral-entfernung nach S-P	Max. Doppel-Amplit.	Ungef. Dauer der Reg.	Tab. I Nr.	Phasen, Bemerkungen
	1958		km	mm	min		
35	Jan. 21.	Ba	—	2	10	—	e 23 h 54 m 53.8 s e 24 h 04 m 37 s
36	23.	Ba Ne	— —	1 1	3 10	— —	iP 02 h 46 m 14.8 s D e 02 h 48 m 41 s eP 02 h 46 m 16.7 s USCGS: H = 02 h 34 m 09 s, h ca. 150 km, 44° ½ N, 146° ½ E, Kurilen-Inseln
37	23.	Ba Ne Ch	— — —	4 1 ½	10 30 10	— — —	eP 13 h 39 m 17.0 s D e 13 h 44 m 48 s iP 13 h 39 m 20.8 s e 13 h 48 m 07 s eP 13 h 39 m 23.7 s e 13 h 43 m 15.7 s USCGS: H = 13 h 35 m 03 s, 65° N, 6° ½ E, bei der Westküste von Norwegen
38	24.	Ba Ne	— —	2 1	10 90	— —	eP 06 h 05 m 40.0 s K e 06 h 16 m 15 s eL 06 h 38 m iP 06 h 05 m 43.9 s USCGS: H = 05 h 53 m 58 s, 56° ½ N, 163° E, bei der Ostküste von Kamtschatka.
39	24.	Ne	—	< ½	10	—	eP 06 h 22 m 49.3 s USCGS: H = 06 h 11 m 03 s, 56° ½ N, 163° E, bei der Ostküste von Kamtschatka Nachstoß
40	24.	Ne	—	< ½	6	—	eP 18 h 15 m 37.4 s USCGS: H = 18 h 03 m 32 s, 54° N, 170° E, Region der Kommandeur-Inseln
41	24.	Ch	—	< ½	1	—	eP 23 h 28 m 54.5 s ML USCGS: H = 23 h 17 m 29 s, h ca. 60 km, 60° N, 152° W, Kenai-Halbinsel, Alaska
42	24.	Ch Ne	— —	< ½ < ½	1 6	— —	iPKP 24 h 12 m 22.4 s K ePKP 24 h 12 m 23.0 s USCGS: H = 23 h 53 m 29 s, h ca. 550 km, 17° ½ S, 178° ½ W, Fidji-Inseln
43	26.	Ne	—	1	10	—	eP 06 h 54 m 35.7 s USCGS: H = 06 h 42 m 13 s, 47° ½ N, 154° ½ E, Kurilen-Inseln
44	26.	Ne	—	1	6	—	eP 07 h 40 m 46.2 s USCGS: H = 07 h 28 m 33 s, 49° ½ N, 155° E, nördl. Kurilen-Inseln
45	27.	Ne Ch Ba Zü	— — — —	1 < ½ 3 1	30 2 10 5	— — — —	ePKP 08 h 03 m 48.5 s ePKP 08 h 03 m 49.4 s K ePKP 08 h 03 m 57.7 s K e 08 h 11 m 48 s e 08 h 04 m 09.9 s USCGS: H = 07 h 43 m 58 s, 15° S, 174° W, Samoa-Inseln
46	28.	Ne	—	< ½	6	—	e 03 h 34 m 16.3 s BCIS: H = 03 h 30 m 07 s, 35° 4 N, 24° 5 E, Kreta. Verspürt VI.
47	30.	Ne	—	1	10	—	e 06 h 36 m 15.2 s USCGS: H = 06 h 13 m 24 s, 7° ½ S, 155° ½ E, Salomon-Inseln
48	30.	Ne	—	< ½	10	—	eP 19 h 17 m 28.9 s BCIS: H = 19 h 13.5 m, 36° ¼ N, 26° E, Dodekanes-Inseln. Verspürt auf Kreta
49	30.	Ne Ba	— 870	< ½ —	10 —	— —	e 22 h 34 m 11.9 s S-P = 1 m 29 s BCIS: H = 22 h 32.8 m, Piemont, Italien
50	Febr. 1.	Ne Ba Zü Ch	— 9250 — 9250	4 4 3 1	90 30 10 45	— — — —	eP 16 h 22 m 58.5 s eP 16 h 23 m 01.5 s eS 16 h 33 m 28 s eL 16 h 56 m eP 16 h 23 m 03.6 s eP 16 h 23 m 06.9 s K eS 16 h 33 m 32 s eL 16 h 59 m 40 s USCGS: H = 16 h 10 m 15 s, 2° N, 79° W, bei der Küste von Ecuador. Gespürt in Esmeraldas
51	1.	Ne Ba Zü Ch	— 9300 — 9300	2 6 2 1	90 30 10 15	— — — —	iP 18 h 15 m 23.0 s Azimut 270° eP 18 h 15 m 25.5 s K eS 18 h 25 m 54 s eP 18 h 15 m 28.9 s e 18 h 26 m 12 s eP 18 h 15 m 31.8 s K eS 18 h 26 m 00 s USCGS: H = 18 h 02 m 39 s, 2° N, 79° W, Ecuador, gespürt in Esmeraldas. Nachstoß
52	1.	Ne Ba Zü Ch	— — — —	2 3 1 —	90 10 10 —	— — — —	iP 20 h 58 m 30.1 s e 21 h 08 m 27 s Azimut 270° eP 20 h 58 m 33.3 s K e 21 h 08 m 19 s e 21 h 09 m 11 s eP 20 h 58 m 36.5 s e 21 h 09 m 32 s eP 20 h 58 m 38.8 s e 21 h 09 m 14 s USCGS: H = 20 h 45 m 45 s, 1° ½ N, 79° W, Ecuador. Nachstoß
53	2.	Ch Ne Ba	— — —	— < ½ 1	— 6 3	— — —	e 02 h 50 m 31.6 s e 02 h 51 m 26.9 s eP 02 h 50 m 38.4 s e 02 h 52 m 20 s e 02 h 51 m 19.6 s e 02 h 51 m 52 s BCIS: H = 02 h 49.3 m, ca. 45° N, 8° E, Piemont, Italien

Nr.	Datum	Station	Epizentral-entfernung nach S-P	Max. Doppel-Amplit.	Ungef. Dauer der Reg.	Tab. I Nr.	Phasen, Bemerkungen
	1958		km	mm	min		
54	Febr. 2.	Ba Zü Ch Ne	— — — —	3 1 1 4	10 5 3 10	— — — —	eP 08 h 24 m 06.3 s K i 08 h 24 m 08 s e 08 h 24 m 40 s eP 08 h 24 m 06.4 s eP 08 h 24 m 06.8 s iP 08 h 24 m 09.8 s e 08 h 27 m 22 s USCGS: H = 08 h 11 m 53 s, 48° ½ N, 154° ½ E, nördl. Kurilen-Inseln
55	4.	Ba Ne Zü	— — —	1 1 1	2 1 1	— — —	eP 23 h 51 m 25.1 s e 23 h 51 m 38 s e 23 h 51 m 54 s eP 23 h 51 m 29.7 s e 23 h 51 m 40 s e 23 h 52 m 00.6 s USCGS: H = 23 h 37 m 50 s, 37° ½ N, 143° ¼ E, bei der Küste von Hondo, Japan
56	5.	Ba Ne	— —	1 < ½	2 10	— —	e 08 h 20 m 08.3 s e 08 h 20 m 33 s e 08 h 20 m 34.3 s USCGS: H = 08 h 08 m 10 s, 47° N, 153° E, Kurilen-Inseln
57	7.	Ba	—	1	1	—	eP 01 h 32 m 24.2 s
58	7.	Ba Ne Zü	— — —	1 < ½ 1	2 2 2	— — —	e 19 h 55 m 08.0 s e 19 h 55 m 35 s e 19 h 55 m 10.3 s e 19 h 55 m 33.5 s
59	7.	Ch Zü Ba Ne	— — — —	2 1 3 1	4 2 30 6	— — — —	eP 23 h 34 m 49.7 s D eP 23 h 34 m 52.6 s eP 23 h 34 m 55.7 s K e 23 h 38 m 40 s eP 23 h 34 m 58.9 s USCGS: H = 23 h 23 m 30 s, 31° ½ N, 104° E, im Norden der Provinz Szechwan (China)
60	8.	Ch	—	1	1	2	eP ? 07 h 43 m 17.6 s e 07 h 43 m 18.6 s i 07 h 43 m 20.1 s Lokalbeben, verspürt in Filisur und Wiesen (Tafel 1)
61	9.	Ne Ba	— —	1 1	6 2	— —	e 23 h 24 m 13.0 s e 23 h 25 m 08 s e 23 h 24 m 42.2 s BCIS: H = 23 h 21 m 05 s, 52° 9 N, 0° 0 long, England, verspürt
62	12.	Ne Ba	— —	1 2	6 10	— —	eP 23 h 56 m 07.2 s e 23 h 56 m 23.9 s e 24 h 03 m 22 s USCGS: H = 23 h 43 m 45 s, 52° N, 175° W, Andreanow-Inseln, Aleuten
63	13.	Ba	—	3	10	—	eP 06 h 54 m 35.1 s e 07 h 01 m 40 s
64	13.	Ne	—	< ½	4	—	eP 10 h 31 m 41.2 s BCIS: H = 10 h 23 m 34 s, 13° ¼ N, 41° ½ E, Küste von Erythraä
65	15.	Ch Ba Ne	— — —	< ½ 2 1	3 3 6	— — —	eP 01 h 59 m 04.9 s i 01 h 59 m 05.8 s iP 01 h 59 m 05.2 s K e 01 h 59 m 17 s eP 01 h 59 m 08.3 s USCGS: H = 01 h 46 m 40 s, 44° N, 147° E, Kurilen-Inseln
66	15.	Ba	—	1	1	—	iP 03 h 37 m 55.0 s K
67	15.	Ch Zü Ba	— — —	— — 1	— — 1	— — —	e 10 h 13 m 25.9 s eP 10 h 13 m 29.0 s eY 10 h 13 m 49.3 s iS 10 h 14 m 00.1 s eXZ 10 h 13 m 49.6 s e 10 h 14 m 25.4 s Sprengung von 12 t bei Eschenlohe/Garmisch-Partenkirchen H = 10 h 13 m 01.8 s, 47° 37.9' N, 11° 08.9' E (nach München)
68	16.	Ba Ne	— —	2 < ½	2 4	— —	eP 06 h 16 m 42.1 s K e 06 h 16 m 55 s eP 06 h 16 m 45.4 s USCGS: H = 06 h 04 m 05 s, 39° N, 142° E, bei der Ostküste von Hondo, Japan
69	17.	Ch Zü Ba Ne	— — 4900 5000	1 2 4 2	20 30 30 30	— — — —	eP 05 h 26 m 43.3 s K e 05 h 36 m 13.5 s eP 05 h 26 m 51.8 s e 05 h 27 m 54 s e 05 h 28 m 12 s eP 05 h 26 m 54.4 s D eS 05 h 33 m 27 s eP 05 h 26 m 57.6 s eS 05 h 33 m 36 s USCGS: H = 05 h 18 m 35 s, h ca. 200 km, 35° ½ N, 70° E, Hindukusch, verspürt im Norden von Afghanistan und Tadzhik.
70	17.	Ba	—	1	4	—	e 20 h 11 m 35.2 s
71	18.	Ch Ne Zü Ba	167 — 215 201	1 1 1 2	2 6 2 3	— — — —	ePn 01 h 47 m 11.5 s D iPg 01 h 47 m 12.2 s D iSg 01 h 47 m 33.0 s eP 01 h 47 m 16.4 s e 01 h 47 m 56 s ePg 01 h 47 m 21.5 s eSg 01 h 47 m 47 s e 01 h 48 m 02 s eP 01 h 47 m 29.2 s eS 01 h 47 m 53 s e 01 h 48 m 11 s H = 01 h 46.7 m, 45° ½ N, 8° ½ E, ca. 50 km östl. von Biella (Provinz Novara, Italien); nach Rom in Biella II—III verspürt.
72	19.	Ne	—	1	10	—	eP 19 h 43 m 23.1 s USCGS: H = 19 h 25 m 21 s, 8° S, 108° E, bei der Südküste von Java. Einige Schäden

Nr.	Datum	Station	Epizentral-entfernung nach S-P	Max. Doppel-Amplit.	Ungef. Dauer der Reg.	Tab. I Nr.	Phasen, Bemerkungen
	1958		km	mm	min		
	Febr.						
73	22.	Ba Ch Ne Zü	9100 9200 9200 —	6 2 5 2	30 15 90 11	— — — —	eP 11 h 02 m 50.2 s D eS 11 h 13 m 07 s eP 11 h 02 m 52.2 s eS 11 h 13 m 16.2 s eP 11 h 02 m 52.6 s eS 11 h 13 m 15 s e 11 h 02 m 54.5 s eS 11 h 13 m 13 s USCGS: H = 10 h 50 m 23 s, 50° 1/2 N, 175° W, Andreanow-Inseln, Aleuten
74	23.	Ba	—	1	1	—	eP 08 h 27 m 27.7 s D USCGS: H = 08 h 14 m 48 s, h ca. 600 km, 27° 1/2 S, 63° W, Provinz Santiago del Estero Argentinien
75	23.	Ba	—	1	1	—	eP 09 h 24 m 51.1 s USCGS: H = 09 h 12 m 20 s, h ca. 400 km, 28° 1/2 N, 139° 1/2 E, Region der Bonin-Inseln
76	23.	Ba	—	1	1	—	eP 11 h 01 m 18.0 s K USCGS: H = 10 h 47 m 40 s, 24° N, 141° 1/2 E, Vulkan-Inseln
77	24.	Zü Ch Ba Ne	— — 6400 —	— <1/2 3 1	— 3 30 90	— — — —	eP 12 h 37 m 12.2 s e 12 h 37 m 18 s eP 12 h 37 m 13.2 s eP 12 h 37 m 14.8 s K eS 12 h 45 m 16 s eL 12 h 51 m eP 12 h 37 m 19.9 s USCGS: H = 12 h 27 m 06 s, 45° N 99° E, Äußere Mongolei
78	26.	Ne	68	1	1	—	eP 09 h 28 m 23.0 s iS 09 h 28 m 31 s
79	26.	Ba Ne	— —	1 1	1 4	— —	e 17 h 02 m 52.3 s e 17 h 02 m 56.9 s USCGS: H = 16 h 50 m 46 s, 50° N, 155° 1/2 E, Kurilen-Inseln
80	27.	Ch Ba Ne	— — —	1/2 2 1	5 30 90	— — —	eP 23 h 40 m 45.4 s eP 23 h 40 m 50.7 s e 23 h 50 m 19 s eL 24 h 19 m eP 23 h 41 m 03.8 s eS 23 h 51 m 45 s USCGS: H = 23 h 27 m 49 s, 21° N, 120° E, Batan-Inseln
81	28.	Ne	—	1	6	—	eP 10 h 03 m 10.6 s USCGS: H = 09 h 54 m 53 s, 27° N, 44° W, Atlantischer Ozean
	März						
82	1.	Ch Ne Ba	— — —	<1/2 <1/2 1	2 3 3	— — —	eP 09 h 34 m 26.0 s eP 09 h 34 m 37.8 s eP 09 h 34 m 41.7 s USCGS: H = 09 h 26 m 46 s, 28° N 54° 1/2 E, Süd-Persien
83	3.	Ne	35	1	1	—	iP 08 h 08 m 22.9 s iS 08 h 08 m 27 s Azimut S—SW
84	3.	Ba Zü Ch Ne	8100 — — —	1 1/2 1/2 1	10 8 2 30	— — — —	eP 16 h 30 m 06.1 s K eS 16 h 39 m 35 s eP 16 h 30 m 07.3 s eP 16 h 30 m 08.3 s K iP 16 h 30 m 09.1 s USCGS: H = 16 h 18 m 17 s, 55° 1/2 N, 166° 1/2 E, Kommandeur-Inseln
85	3.	Ne	—	<1/2	10	—	eP 17 h 44 m 39.3 s USCGS: H = 17 h 32 m 47 s, 55° 1/2 N, 166° E, Kommandeur-Inseln
86	4.	Zü Ne Ba	— — —	1 1 1	2 4 2	— — —	eP 11 h 36 m 20.3 s eP 11 h 36 m 27.7 s eP 11 h 36 m 28.0 s K BCIS: H = 11 h 32 m 08 s, 36° 4 N, 27° 0 E, Dodekanes-Inseln
87	4.	Ba	—	1	2	—	e 13 h 50 m 23.3 s eS 13 h 50 m 50 s
88	4.	Ne	—	<1/2	1	—	eP 15 h 14 m 06.6 s e 15 h 14 m 11 s
89	6.	Ba	—	1	3	—	eP 05 h 44 m 46.8 s D USCGS: H = 05 h 41 m 06 s, 36° N, 23° E, bei der Südküste von Griechenland
90	6.	Ba	—	1	3	—	e 23 h 34 m 23.5 s
91	9.	Ba	—	1	1	—	e 21 h 57 m 21.7 s e 22 h 05 m 20 s
92	11.	Zü Ba Ne Ch	9400 9400 9400 9300	8 15 11 19	90 90 90 60	— — — —	eP 00 h 38 m 40.4 s eS 00 h 49 m 14 s eP 00 h 38 m 43.8 s D eS 00 h 49 m 18 s eL 01 h 32 m eP 00 h 38 m 46.4 s e 00 h 42 m 27 s eS 00 h 49 m 21 s S—P = 10 m 39 s (keine Zeitmarken) USCGS: H = 00 h 25 m 56 s, h ca. 60 km, 25° 1/2 N, 125° E, Riou-Kiou-Inseln. Stark verspürt
93	11.	Ba	—	1	1	—	e 13 h 45 m 30.9 s e 13 h 45 m 34 s
94	12.	Ba	—	1	1	—	eS 13 h 27 m 08.9 s

Nr.	Datum	Station	Epizentral-entfernung nach S-P	Max. Doppel-Amplit.	Ungef. Dauer der Reg.	Tab. I Nr.	Phasen, Bemerkungen
	1957		km	mm	min		
	März						
95	13.	Zü Ne Ba	153 — —	1 1 1	1 1 1	4 — —	eP 14 h 38 m 02.9 s eS 14 h 38 m 20.9 s e 14 h 38 m 03.0 s iS 14 h 38 m 07 s e 14 h 38 m 26.6 s H = 14 h 37.6 m, 46° 3 N, 7° 4 E, verspürt in Montana (Wallis)
96	15.	Ch Zü Ne Ba	1120 1160 1280 1150	4 8 8 21	10 20 10 10	— — — —	eP 06 h 29 m 38.1 s eS 06 h 31 m 33.1 s eP 06 h 29 m 49.5 s eS 06 h 31 m 49 s eL 06 h 33 m 20 s eP 06 h 29 m 59.5 s eS 06 h 32 m 11 s eP 06 h 29 m 59.8 s D eS 06 h 31 m 58 s BCIS: H = 06 h 27 m 08 s, 40° 9 N, 21° 2 E, Grenze zwischen Albanien und Griechenland; verspürt VII
97	16.	Ba	—	1	10	—	e 08 h 24 m 56.8 s e 08 h 35 m 41 s
98	17.	Ba	—	1	1	—	e 13 h 44 m 00.3 s e 13 h 44 m 16 s
99	18.	Ne Ba Zü	— — —	1 2 1/2	10 1 1	— — —	i 22 h 28 m 19.1 s e 22 h 32 m 30 s e 22 h 28 m 30.5 s e 22 h 28 m 36 s e 22 h 32 m 15.2 s e 22 h 28 m 33.6 s BCIS: H = 22 h 27 m 15 s, 45° 2 N, 7° 2 E, Provinz Turin, Italien, verspürt
100	19.	Ba	—	2	1	—	eP 10 h 16 m 19.2 s Sprengung?
101	19.	Ch Zü Ne Ba	380 430 580 520	22 8 4 8	5 8 10 6	— — — —	ePg 16 h 04 m 50.5 s eSg 16 h 05 m 49.1 s ePn 16 h 05 m 05.2 s eSg 16 h 06 m 10 s e 16 h 05 m 13.4 s e 16 h 05 m 27 s eSg 16 h 06 m 46 s ePn 16 h 05 m 14.1 s eSg 16 h 06 m 35 s BCIS: H = 16 h 03 m 54 s, 46° 1/2 N, 14° 1/2 E, Grenze Österreich-Jugoslawien; verspürt in Süd-Kärnten und Ljubljana.
102	20.	Ba Zü Ne Ch	9000 — 9300 9200	3 1 2 2	10 12 30 45	— — — —	eP 01 h 50 m 29.4 s D i 01 h 50 m 33 s eS 02 h 00 m 39 s eP 01 h 50 m 30.1 s eP 01 h 50 m 31.5 s eS 02 h 00 m 57 s eP 01 h 50 m 31.6 s D eS 02 h 00 m 50 s USCGS: H = 01 h 38 m 04 s, 51° N, 173° W, Region der Fuchs-Inseln, Aleuten
103	21.	Ba	—	2	1	—	e 15 h 03 m 38.8 s e 15 h 03 m 52 s
104	22.	Ch Ba Ne	— — —	1 1 <1/2	3 2 6	— — —	eP 10 h 22 m 37.2 s D eP 10 h 22 m 39.7 s eP 10 h 22 m 44.0 s USCGS: H = 10 h 11 m 27 s, 23° 1/2 N, 94° 1/2 E, Region Grenze Burma-Pakistan
105	22.	Ne Ba	— —	1 1	6 1	— —	eP 11 h 16 m 13.0 s e 11 h 16 m 19.8 s USCGS: H = 11 h 07 m 47 s, 35° 1/2 N, 67° E, Afghanistan
106	24.	Ba	—	1	1	—	eP 13 h 45 m 37.8 s K e 13 h 45 m 44 s
107	25.	Ba	—	1	1	—	e 15 h 40 m 57.9 s e 15 h 41 m 11 s
108	27.	Ba	—	1	1	—	e 14 h 47 m 29.2 s e 14 h 47 m 40 s
109	28.	Ch Ba Ne	— — —	<1/2 2 1	4 10 6	— — —	eP 04 h 17 m 36.2 s K e 04 h 18 m 27.1 s eP 04 h 17 m 46.8 s e 04 h 22 m 41 s eP 04 h 17 m 50.9 s e 04 h 18 m 41 s USCGS: H = 04 h 09 m 30 s, 36° 1/2 N, 71° E, Hindukusch, verspürt
110	28.	Ch Zü Ba Ne	— — — —	13 2 6 4	10 15 10 30	— — — —	eP 12 h 14 m 29.4 s eP 12 h 14 m 34.9 s e 12 h 14 m 57 s eP 12 h 14 m 38.3 s K e 12 h 16 m 36 s iP 12 h 14 m 42.9 s USCGS: H = 12 h 06 m 24 s, h ca. 200 km, 37° N, 71° E, Hindukusch
111	29.	Zü	—	1	1	—	e 06 h 45 m 21.5 s BCIS: Süddeutschland
112	30.	Ne Ba Zü Ch	160 218 260 320	17 17 6 14	6 6 5 3	— — — —	iPn 16 h 10 m 38.3 s iPg 16 h 10 m 40.7 s iSg 16 h 11 m 00 s eP 16 h 10 m 48.0 s K e 16 h 10 m 53 s eS 16 h 11 m 18 s ePn 16 h 10 m 52.7 s iPg 16 h 10 m 59.4 s eSg 16 h 11 m 30 s ePn 16 h 11 m 01.5 s ePg 16 h 11 m 05.8 s eSn 16 h 11 m 33.9 s eSg 16 h 11 m 43.2 s BCIS: H = 16 h 10 m 11 s, 45° 46' N, 5° 46' E (makroseism. bestimmt) Region von Frangy, Savoyen; verspürt
	April						
113	3.	Ch Zü Ba Ne	920 1130 1140 1250	26 19 47 15	12 15 10 10	— — — —	eP 02 h 26 m 01.3 s D i 02 h 26 m 13.4 s K iS 02 h 27 m 35.9 s eP 02 h 26 m 12.4 s eS 02 h 28 m 05.7 s eP 02 h 26 m 20.1 s K eS 02 h 28 m 13 s e 02 h 29 m 56 s eP 02 h 26 m 22.1 s eS 02 h 28 m 30 s BCIS: H = 02 h 23 m 40 s, 41° N, 20° 0 E, in Albanien und auf der Insel Korfu verspürt

Nr.	Datum	Station	Epizentral-entfernung nach S-P	Max. Doppel-Amplit.	Ungef. Dauer der Reg.	Tab. I Nr.	Phasen, Bemerkungen
	1958		km	mm	min		
114	April 3.	Ch Zü Ba Ne	2250 2200 — —	1 2 4 1	5 8 6 6	— — — —	eP 07 h 22 m 47.4 s D eS 07 h 26 m 26.8 s eP 07 h 22 m 56 s ML eS 07 h 26 m 31 s eP 07 h 23 m 03.3 s D e 07 h 24 m 23 s iP 07 h 23 m 03.8 s USCGS: H = 07 h 18 m 34 s, 35° N, 27° ½ E, bei Kreta
115	4.	Ba	—	1	3	—	e 04 h 07 m 15.1 s BCIS: H = 04 h 04 m 20 s, 41° N, 20° E, Albanien, Nachstoß
116	4.	Ba	—	2	6	—	e 09 h 23 m 35.7 s e 09 h 25 m 55 s USCGS: H = 09 h 18 m 49 s, Albanien, Nachstoß
117	6.	Ne Ba Zü	220 290 —	<1/2 1 <1/2	2 2 2	— — —	iP 18 h 51 m 36.1 s eS 18 h 52 m 02 s eP 18 h 51 m 50.1 s K eS 18 h 53 m 24 s e 18 h 52 m 33.2 s BCIS: H = 18 h 51.0 m, ca. 45° ½ N, 5° ½ E, Isère, Frankreich
118	7.	Ba Zü Ne	7400 7300 7500	21 3 11	90 90 90	— — —	eP 15 h 41 m 32.9 s K eS 15 h 50 m 23 s eL 16 h 50 m eP 15 h 41 m 34.5 s eS 15 h 50 m 18 s eP 15 h 41 m 35.9 s eS 15 h 50 m 29 s USCGS: H = 15 h 30 m 38 s, 66° ½ N, 157° W, Alaska; verspürt
119	7.	Zü Ba Ne	— — 9400	2 3 1	60 12 30	— — —	eP 18 h 17 m 43.5 s eP 18 h 17 m 45.5 s K e 18 h 27 m 14 s eP 18 h 17 m 46.8 s eS 18 h 28 m 22 s USCGS: H = 18 h 05 m 02 s, 38° ½ N, 143° E, bei der Ostküste von Hondo, Japan
120	7.	Ba	—	1	3	—	eP 18 h 42 m 56.3 s K USCGS: H = 18 h 30 m 12 s, 38° ½ N, 142° ½ E, Japan; Nachstoß
121	7.	Ba	—	1	6	—	eP 18 h 50 m 51.4 s K USCGS: H = 18 h 38 m 18 s, 38° N, 143° E, Japan; Nachstoß
122	7.	Zü Ba Ne	— — —	3 24 9	60 90 30	— — —	eP 19 h 23 m 20.9 s eP 19 h 23 m 24.7 s K e 18 h 32 m 32 s eL 19 h 58 m eP 19 h 23 m 30.9 s USCGS: H = 19 h 13 m 20 s, 45° N, 98° E, Äußere Mongolei
123	9.	Zü Ne	— —	<1/2 <1/2	3 6	— —	eP 04 h 43 m 51.0 s eP 04 h 43 m 59.0 s USCGS: H = 04 h 36 m 29 s, 29° N, 52° E, bei der SW-Küste von Persien
124	10.	Ne	—	<1/2	4	—	eP 01 h 56 m 34.0 s USCGS: H = 01 h 44 m 34 s, 53° N, 160° ½ E, bei der Ostküste von Kamtschatka
125	11.	Ne	9300	1	90	—	eP 01 h 10 m 56.6 s eS 01 h 21 m 22 s USCGS: H = 00 h 58 m 13 s, 38° ½ N, 142° ½ E, bei der Ostküste von Hondo Japan
126	11.	Ne Zü Ba	215 280 290	1 1 —	3 2 —	— — —	iP 18 h 46 m 13.5 s iS 18 h 46 m 39 s eP 18 h 46 m 37.7 s eS 18 h 47 m 11 s S - P = 34.3 s (keine Zeitmarken) BCIS: H = 18 h 45 m 38 s 45° ¼ N, 5° ¼ E, Isère, Frankreich
127	11.	Zü Ne Ba	8600 8500 8500	3 9 —	15 30 —	— — —	eP 23 h 23 m 30.5 s eS 23 h 33 m 25 s iP 23 h 23 m 34.8 s eS 23 h 33 m 34 s S - P = 9 m 47.2 s (keine Zeitmarken) USCGS: H = 23 h 11 m 26 s, h ca. 100 km, 47° ½ N, 153° ½ E, Kurilen-Inseln
128	12.	Zü Ne Ch Ba	75 196 — —	2 1 — —	2 2 — —	5 — — —	eP 05 h 53 m 42.6 s eS 05 h 53 m 51.5 s ML. eP 05 h 54 m 02.8 s eS 05 h 54 m 26 s S - P = 6.2 s } (keine Zeitmarken) S - P = 24.5 s } H = 05 h 53 m 28 s, 47° 15' N, 9° 30' E, im St. Galler Rheintal verspürt
129	12.	Ne	—	1	30	—	e 12 h 30 m 05.4 s
130	13.	Ne	—	<1/2	10	—	eP 09 h 18 m 19.0 s USCGS: H = 09 h 07 m 24 s, 66° N, 156° W, Alaska verspürt
131	13.	Zü Ch Ne Ba	8700 8400 8600 —	1 3 2 —	60 60 90 —	— — — —	eP 12 h 41 m 05.5 s eS 12 h 51 m 07 s eP 12 h 41 m 06.2 s eS 12 h 50 m 53.7 s eL 13 h 19 m iP 12 h 41 m 08.0 s eS 12 h 51 m 02 s S - P = .10 m 09 s (keine Zeitmarken) USCGS: H = 12 h 29 m 07 s, 53° N, 161° E, bei der Ostküste von Kamtschatka
132	14.	Ba Ne	— —	1 1	4 4	— —	eP 03 h 01 m 50.6 s K iP 03 h 02 m 03.2 s USCGS: H = 02 h 49 m 41 s, 47° N, 152° E, Kurilen-Inseln

Nr.	Datum	Station	Epizentral-entfernung nach S-P	Max. Doppel-Amplit.	Ungef. Dauer der Reg.	Tab. I Nr.	Phasen, Bemerkungen
	1958		km	mm	min		
133	April 14.	Ne Ba Zü Ch	9500 9550 9600 9750	4 5 2 3	90 90 30 60	— — — —	eP 21 h 45 m 17.3 s eS 21 h 55 m 56 s Azimut SW—W eP 21 h 45 m 19.2 s K eS 21 h 56 m 00 s eL 22 h 15 m eP 21 h 45 m 23.7 s eS 21 h 56 m 06 s eP 21 h 45 m 25.1 s K e 21 h 55 m 49 s schwach eS 21 h 56 m 15 s USCGS: H = 21 h 32 m 28 s, 1° N, 79° ½ W, bei der Küste von Equador; einige Schäden
134	14.	Ne Ba	— —	<1/2 1	30 1	— —	eP 23 h 01 m 20.9 s eP 23 h 01 m 30.6 USCGS: H = 22 h 48 m 33 s, Equador; Nachstoß
135	15.	Ne Ba Ch	— — —	2 2 1	30 30 15	— — —	eP 01 h 43 m 33.1 s eS 01 h 54 m 01 s Azimut SW—W eP 01 h 43 m 35.7 s K eS 01 h 53 m 53 s eP 01 h 43 m 40.3 s K eS 01 h 54 m 08 s USCGS: H = 01 h 30 m 43 s, Equador; Nachstoß
136	15.	Ne Ba Ch	— 9300 9200	1 2 1/2	30 12 15	— — —	eP 04 h 05 m 15.2 s eP 04 h 05 m 15.9 s eS 04 h 15 m 45 s eP 04 h 05 m 21.3 s eS 04 h 15 m 47 s USCGS: H = 03 h 52 m 39 s, 9° N, 84° W, auf der Breite der Küste von Costa Rica
137	15.	Ne Ba	— —	<1/2 2	4 10	— —	eP 05 h 55 m 13.8 s e 05 h 55 m 45 s eP 05 h 55 m 16.9 s e 06 h 05 m 25 s Rom: H = 05 h 53 m 17 s, 44° N, 10° ½ E, Toscana; verspürt IV—V
138	15.	Ba	—	2	1	—	e 13 h 42 m 53.1 s e 13 h 43 m 00 s
139	21.	Ch Ne Zü Ba	— — — —	1 1 1/2 3	5 10 10 4	— — — —	ePKP 20 h 34 m 37.5 s ePKP 20 h 34 m 37.9 s e 20 h 34 m 44 s ePP 20 h 38 m 34 s ePKP 20 h 34 m 41.3 s e 20 h 34 m 51.5 s USCGS: H = 20 h 14 m 47 s, 15° S, 174° ½ W, Region der Samoa-Inseln
140	21.	Ch Ne Ba	— — —	1/2 1 1	15 30 1	— — —	eP 22 h 50 m 50.2 s e 23 h 01 m 03 s eP 22 h 50 m 58.5 s e 23 h 01 m 17 s e 22 h 51 m 31.6 s USCGS: H = 22 h 37 m 18 s, 4° ½ S, 104° E, Sumatra
141	22.	Ne	—	<1/2	1	—	iP 14 h 54 m 57.0 s
142	23.	Ne Ba	— —	<1/2 1	30 10	— —	eP 03 h 10 m 11.6 s eP 03 h 10 m 12.6 s USCGS: H = 02 h 57 m 40 s, 45° N, 152° E, Kurilen-Inseln
143	24.	Ne	—	<1/2	6	—	ePKP 13 h 29 m 37.4 s USCGS: H = 13 h 09 m 41 s, 22° S, 170° ½ E, Loyalty-Inseln
144	26.	Ba Ch Ne	— — —	1 1 1	2 2 30	— — —	e 09 h 45 m 14.9 s iPKP 09 h 45 m 20.2 s D ePKP 09 h 45 m 23.6 s e 09 h 48 m 27 s USCGS: H = 09 h 25 m 54 s, 15° S, 168° E, Neue Hebriden
145	26.	Ba	—	1	1	—	eP 10 h 54 m 21.3 s BCIS: H = 10 h 52.0 m, ca. 39° ½ N, 15° E, Tyrrenisches Meer
146	27.	Ba	—	2	6	—	e 17 h 29 m 52.2 s USCGS: H = 17 h 17 m 39 s, h ca. 100 km, 42° ½ N, 143° ½ E, bei der Ostküste von Hokkaido, Japan
147	27.	Ba Ne	— —	1 <1/2	6 6	— —	eP 19 h 16 m 05.2 s e 19 h 22 m 25 s eP 19 h 16 m 05.8 s USCGS: H = 19 h 03 m 50 s, 52° ½ N, 169° W, Fuchs-Inseln, Aleuten
148	28.	Ba Ne	— —	1 1	6 90	— —	e 12 h 00 m 23.7 s e 12 h 08 m 44 s eP 12 h 00 m 56.5 s e 12 h 11 m 26 s USCGS: H = 11 h 47 m 40 s, 11° S, 74° W, Peru
149	29.	Ba	—	1	1	—	e 13 h 44 m 33.7 s eS 13 h 44 m 51 s
150	30.	Ch Ba Ne	660 — —	<1/2 1 <1/2	4 3 6	— — —	eP 02 h 55 m 02.5 s eS 02 h 56 m 10.3 s e 02 h 55 m 41.3 s e 02 h 55 m 44.7 s BCIS: H = 02 h 52.4 m, ca. 42° N, 15° ½ E, Region Monte Gargano, Italien
151	30.	Ne Ba	— —	2 3	30 30	— —	eP 14 h 12 m 14.9 s e 14 h 17 m 37 s eP 14 h 12 m 15.0 s e 14 h 18 m 22 s BCIS: H = 14 h 07 m 59 s, 37° ¾ N, 14° ¼ W, auf der Breite der Küste von Portugal; verspürt in Lissabon (III)

Nr.	Datum	Station	Epizentral-entfernung nach S-P	Max. Doppel-Amplit.	Ungef. Dauer der Reg.	Tab. I Nr.	Phasen, Bemerkungen
			km	mm	min		
1958							
Mai							
152	1.	Ch Zü Ba Ne	15700	12 1 2 2	5 10 30 30	—	ePKP 00 h 48 m 21.8 s D i 00 h 48 m 22.7 s K ePP 00 h 51 m 32 s ePKP 00 h 48 m 23.4 s ePKP 00 h 48 m 25.0 s D e 00 h 54 m 07 s ePKP 00 h 48 m 25.7 ePP 00 h 51 m 35 s USCGS: H = 00 h 29 m 15 s, h ca. 200 km, 13° ½ S, 167° ½ E, Neue Hebriden
153	1.	Ch Ne Ba	—	½ 1 2	5 10 10	—	eP 21 h 17 m 55.9 s e 21 h 19 m 43 s e 21 h 18 m 17.5 s e 21 h 21 m 42 s e 21 h 18 m 34.8 s e 21 h 22 m 21 s BCIS: H = 21 h 15 m 30 s, 41° ½ N, 21° E, Albanien
154	3.	Ba	—	2	3	—	e 09 h 37 m 56.8 s
155	3.	Ch Ba Zü Ne	1500	½ 2 2 1	2 10 10 30	—	eP 20 h 21 m 38.0 s e 20 h 21 m 50 s eS 20 h 24 m 09 s eP 20 h 21 m 50.4 s e 20 h 27 m 49 s eP 20 h 21 m 55.1 s eS 20 h 24 m 37 s eP 20 h 21 m 57.6 s eS 20 h 24 m 49 s BCIS: H = 20 h 18 m 16 s, 36° 5 N, 21° 8 E, bei der Südküste von Griechenland
156	4.	Ne Ch Ba Zü	270	8 16 19	10 5 10	—	iPg 10 h 53 m 30.4 s e 10 h 53 m 42 s eSg 10 h 54 m 02 s e 10 h 53 m 33.7 s ePg 10 h 53 m 35.8 s K eSg 10 h 54 m 16 s e 10 h 53 m 36.6 s BCIS: H = 10 h 52 m 45 s, 44° 4 N, 7° 4 E, Piemonteser Alpen; verspürt in Tende und im Departement Alpes-Maritimes
157	5.	Ba Ne	—	1 <½	6 6	—	eP 05 h 27 m 41.1 s K eP 05 h 27 m 43.4 s USCGS: H = 05 h 21 m 33 s, 36° ½ N, 45° ½ E, Grenze Iran-Irak
158	5.	Ba Ch Ne	—	4 7 1	30 5 30	—	e 06 h 41 m 26.1 s e 06 h 41 m 49 s e 06 h 53 m 10 s eP 06 h 41 m 38.2 s D iP 06 h 41 m 43.7 s USCGS: H = 06 h 31 m 39 s, 9° ½ S, 27° ½ E, Belgisch Kongo, im SW des Moero-Sees
159	6.	Ne	10	1	<½	—	iP 06 h 24 m 32.6 s iS 06 h 24 m 33.8 s
160	6.	Ba	21	3	1	—	eP 16 h 05 m 37.5 s eS 16 h 05 m 40 s
161	7.	Ba	—	1	10	—	e 22 h 09 m 17.1 s e 22 h 18 m 24 s USCGS: H = 21 h 57 m 03 s, 50° N, 158° ½ E, Region Kamtschatka
162	7.	Ba	—	1	10	—	eP 23 h 36 m 20.9 s e 23 h 45 m 51 s
163	8.	Ba	—	1	10	—	eP 04 h 08 m 28.1 s e 04 h 17 m 33 s
164	8.	Ba	163	2	1	—	eP 14 h 47 m 51.7 s eS 14 h 48 m 11 s
165	9.	Ch Zü Ba Ne	1850	2 1 3 2	5 6 10 30	—	eP 02 h 44 m 46.6 s D sehr schwach eP 02 h 44 m 58.3 s iP 02 h 45 m 06.8 s K eS 02 h 48 m 12 s eP 02 h 45 m 08.1 s BCIS: H = 02 h 40 m 47 s, 36° ½ N, 27° ¼ E, Dodekanes-Inseln; makroseism. verspürt 200 000 km ²
166	16.	Ba	64	2	1	—	eP 13 h 45 m 04.5 s eS 13 h 45 m 12 s
167	25.	Zü Ch Ne Ba	—	1 ½ 3 2	15 3 30 30	—	e 21 h 24 m 27.7 s e 21 h 35 m 29 s e 21 h 24 m 33.4 s D Spur. e 21 h 24 m 43.2 s D eP 21 h 24 m 34.6 s e 21 h 35 m 01 s eP 21 h 24 m 36.1 s e 21 h 35 m 25 s USCGS: H = 21 h 11 m 45 s, h ca. 100 km, 3° S, 77° W, Region Grenze Equador-Peru
168	26.	Ne Ba	—	<½ 1	4 <½	—	eP 09 h 02 m 36.3 s eP 09 h 02 m 42.6 s USCGS: H = 08 h 49 m 47 s, Region Grenze Equador-Peru; Nachstoß
169	26.	Ba Ne	—	1 <½	<½ 4	—	eP 11 h 08 m 39.5 s eP 11 h 08 m 42.5 s USCGS: H = 10 h 56 m 30 s, 53° N, 169° ½ W, Fuchs-Inseln, Aleuten
170	27.	Ba	—	3	1	—	e 14 h 57 m 49.7 s eS 14 h 57 m 59 s
171	27.	Ch Zü Ba Ne	1850 1810 1920 1960	12 4 15 7	6 9 30 10	—	iP 18 h 31 m 26.5 s K i 18 h 31 m 28.1 s D eS 18 h 34 m 31 s iP 18 h 31 m 36.2 s D e 18 h 32 m 37 s eS 18 h 34 m 38 s eP 18 h 31 m 42.4 s D i 18 h 31 m 45 s eS 18 h 34 m 53 s iP 18 h 31 m 43.1 s eS 18 h 34 m 58 s BCIS: H = 18 h 27 m 42 s, h ca. 150 km, 36° 5 N, 27° 0 E, Dodekanes-Inseln; verspürt

Nr.	Datum	Station	Epizentral-entfernung nach S-P	Max. Doppel-Amplit.	Ungef. Dauer der Reg.	Tab. I Nr.	Phasen, Bemerkungen
			km	mm	min		
1958							
Mai							
172	28.	Ne Ba Zü	119	1 1 1	1 1 ½	—	eP 11 h 35 m 38.9 s e 11 h 35 m 49 s iS 11 h 35 m 53 s e 11 h 35 m 48.9 s eS 11 h 36 m 05 s e 11 h 35 m 50.2 s eS 11 h 36 m 08 s
173	30.	Zü Ne Ba	—	2 1 1	5 10 6	—	e 03 h 18 m 44 s ML e 03 h 20 m 28 s e 03 h 20 m 39 s e 03 h 19 m 06.9 s e 03 h 21 m 04 s eP 03 h 19 m 14.2 s e 03 h 20 m 47 s BCIS: H = 03 h 16 m 35 s, 44° ½ N, 12° ¼ E, Jugoslawien; verspürt IV
174	30.	Ne	—	<½	2	—	e 14 h 47 m 13.6 s e 14 h 47 m 33 s BCIS: wahrscheinlich Belgien; nicht übereinstimmende Angaben
175	30.	Zü Ba Ne Ch	9000	1 1 2 1	6 30 90 2	—	e 18 h 17 m 04.9 s i 18 h 17 m 09 s eP 18 h 17 m 05.2 s i 18 h 17 m 08 s eS 18 h 27 m 20 s eP 18 h 17 m 06.1 s eP 18 h 17 m 07.5 s D i 18 h 17 m 12.4 s D USCGS: H = 18 h 04 m 50 s, 52° ½ N, 169° W, Fuchs-Inseln, Aleuten
176	31.	Zü Ch Ba Ne	—	3 6 10 6	90 7 90 90	—	ePKP 19 h 52 m 06.5 s e 19 h 53 m 04 s e 19 h 54 m 18 s ePKP 19 h 52 m 07.5 s D ePKP 19 h 52 m 07.9 s e 19 h 52 m 19 s ePP 19 h 55 m 24 s e 20 h 00 m 51 s eL 20 h 31 m 38 s iPKP 19 h 52 m 09.4 s USCGS: H = 19 h 32 m 30 s, 15° S, 169° E, Neue Hebriden
Juni							
177	1.	Ne	—	1	1	—	eP 04 h 12 m 05.5 s USCGS: H = 04 h 00 m 06 s, 52° ½ N, 160° E, bei der Ostküste von Kamtschatka
178	3.	Zü Ch Ba Ne	—	1 ½ 2 2	6 3 30 10	—	ePKP 19 h 51 m 24.3 s ePKP 19 h 51 m 27.9 s K ePKP 19 h 51 m 28.3 s ePP 19 h 54 m 45 s iPKP 19 h 51 m 31.1 s e 19 h 54 m 34 s USCGS: H = 19 h 31 m 52 s, 15° S, 168° E, Neue Hebriden
179	4.	Ba	—	1	1	—	e 08 h 14 m 51.2 s e 08 h 14 m 55 s
180	4.	Ne Ba Zü	109 150	1 1 ½	1 1 ½	8	iP 08 h 30 m 06.3 s iS 08 h 30 m 19.2 s eP 08 h 30 m 14.2 s eS 08 h 30 m 32 s eP 08 h 30 m 17.6 s Nicht übereinstimmende Angaben; verspürt in Hérémece, Wallis
181	4.	Zü Ba Ne	9000 9000 9000	1 1 1	12 30 90	—	eP 14 h 42 m 04.0 s eS 14 h 52 m 19 s eP 14 h 42 m 05.5 s eS 14 h 52 m 19 s eL 15 h 19 m 03 s eP 14 h 42 m 05.7 s eS 14 h 52 m 23 s USCGS: H = 14 h 29 m 50 s, 52° ½ N, 167° W, Fuchs-Inseln, Aleuten
182	5.	Ch Zü Ne Ba	1270	<½ 2 <½ 2	— 40 10 10	—	eP 13 h 32 m 47.7 s eS 13 h 34 m 58 s eP 13 h 33 m 00.8 s eP 13 h 33 m 01.2 s e 13 h 38 m 06 s e 13 h 33 m 09.3 s e 13 h 36 m 45 s e 13 h 38 m 10 s BCIS: H = 13 h 29 m 50 s, h ca. 100 km, 37° ½ N, 21° ¼ E, auf der Breite der Westküste von Griechenland; verspürt V.
183	6.	Zü Ne Ba	9400 9400	1 1 3	7 90 30	—	e 09 h 23 m 28.0 s eP 09 h 23 m 51.8 s ML ePP 09 h 27 m 03 s eS 09 h 34 m 23 s eP 09 h 23 m 57.0 s eS 09 h 34 m 28 s eL 09 h 51 m 28 s USCGS: H = 09 h 11 m 14 s, 8° N, 84° ½ W, bei der Küste von Costa Rica
184	6.	Ba	31	3	1	—	eP 13 h 55 m 20.3 s eS 13 h 55 m 24 s e 13 h 55 m 30 s
185	6.	Ne	—	<½	30	—	e 19 h 38 m 11.7 s
186	8.	Ne	—	<½	30	—	eP 00 h 51 m 04.4 s USCGS: H = 00 h 38 m 52 s, 53° N, 167° W, Fuchs-Inseln, Aleuten
187	9.	Ne	—	<½	6	—	eP 16 h 11 m 21.1 s USCGS: H = 15 h 59 m 00 s, 52° ½ N, 168° W, Fuchs-Inseln, Aleuten
188	10.	Zü	—	½	2	—	eP 07 h 11 m 12.7 s BCIS: H = 07 h 04 m 05 s, 30° ½ N, 51° E, West-Persien
189	10.	Ch Ne Zü	1060	½ 1 2	5 10 8	—	eP 08 h 30 m 54.2 s eS 08 h 32 m 44.2 s e 08 h 31 m 30.6 s e 08 h 33 m 16 s eS 08 h 35 m 14 s e 08 h 31 m 32.4 s e 08 h 33 m 17 s e 08 h 34 m 27 s BCIS: H = 08 h 28 m 52 s, 41° ½ N, 19° ¼ E, bei der Küste von Albanien
190	10.	Ch	—	1	<½	—	eP 10 h 26 m 07.8 s K iS 10 h 26 m 08.5 s Lokalbeben
191	10.	Ba	—	2	6	—	eP 11 h 32 m 56.4 s eS 11 h 34 m 52 s

Nr.	Datum	Station	Epizentral-entfernung nach S-P	Max. Doppel-Amplit.	Ungef. Dauer der Reg.	Tab. I Nr.	Phasen, Bemerkungen
1957							
Juni							
192	11.	Ne	150	<1/2	1	—	iP 11 h 19 m 06.6 s iS 11 h 19 m 24.3 s
193	12.	Ne	—	<1/2	6	—	e 09 h 42 m 05.4 s BCIS: H = 09 h 38.8 m, ca. 43° N, 0° 1/2 W, Basses Pyrénées, Frankreich Verspürt V.
194	12.	Ba Zü Ne Ch	9000	2 1 1 1	90 60 90 3	—	eP 21 h 05 m 10.5 s e 21 h 05 m 14 s eS 21 h 15 m 25 s eP 21 h 05 m 11.8 s eL 21 h 39 m 45 s eP 21 h 05 m 13.3 s e 21 h 15 m 14 s eP 21 h 05 m 15.3 s D USCGS: H = 20 h 52 m 57 s, 53° N, 167° W, Fuchs-Inseln, Aleuten
195	12.	Ne	—	<1/2	10	—	eP 21 h 45 m 39.2 s BCIS: H = 21 h 33 m 24 s, Fuchs-Inseln, Nachstoß
196	13.	Ch	—	3	<1/2	—	e 15 h 46 m 04.7 s e 15 h 46 m 08.1 s iS 15 h 46 m 08.7 s Lokalbeben
197	15.	Ne	—	<1/2	10	—	e 10 h 58 m 31.7 s
198	15.	Ba Ch Ne Zü	—	2 1 1 1	6 5 30 8	—	ePKP 15 h 13 m 23.4 s epPKP 15 h 15 m 37 s ePKP 15 h 13 m 23.5 s D i 15 h 13 m 29.8 s D epPKP 15 h 15 m 35.4 s ePKP 15 h 13 m 25.1 s epPKP 15 h 15 m 35 s iPKP 15 h 13 m 29.2 s D e 15 h 15 m 16 s e 15 h 16 m 09 s USCGS: H = 14 h 54 m 37 s, 18° S, 178° 1/2 W, h ca. 600 km, Fidji-Inseln
199	16.	Ch	—	3	<1/2	—	iP 17 h 05 m 37.8 s D iS 17 h 05 m 38.5 s Lokalbeben
200	18.	Ba Ne Zü Ch	—	3 1 2 1	30 30 6 5	—	eP 01 h 20 m 24.6 s e 01 h 25 m 08 s eL 01 h 29 m 18 s eP 01 h 20 m 26.3 s e 01 h 26 m 23 s eP 01 h 20 m 27.5 s e 01 h 21 m 03 s e 01 h 21 m 46 s eP 01 h 20 m 34.6 s D e 01 h 20 m 38.4 s K BCIS: H = 01 h 15 m 01 s, 68° 3/4 N, 17° 1/4 W, Arktischer Ozean, im Norden von Island
201	18.	Ne	—	<1/2	30	—	eP 04 h 39 m 28.0 s BCIS: H = 04 h 34 m 04 s, Arktischer Ozean, Nachstoß
202	19.	Ba Zü Ch Ne	—	1 1 1 2	6 5 3 90	—	eP 05 h 30 m 07.3 s eL 06 h 10 m eP 05 h 30 m 07.3 s e 05 h 31 m 06 s e 05 h 32 m 22 s eP 05 h 30 m 08.9 s D eP 05 h 30 m 11.0 s USCGS: H = 05 h 18 m 00 s, 49° 1/2 N, 156° E, Kurilen-Inseln
203	19.	Zü Ba	—	1 1	1 1	—	iP 15 h 16 m 14.2 s e 15 h 16 m 16 s e 15 h 16 m 21 s eP 15 h 16 m 20.6 s
204	21.	Ne	—	1	6	—	eP 23 h 51 m 30.3 s BCIS: H = 23 h 39 m 30 s, ca. 53° N, 160° E, bei der SE-Küste von Kamtschatka
205	23.	Ba Ne	—	1 1	30 30	—	e 05 h 33 m 12.6 s e 05 h 42 m 16 s e 05 h 41 m 20.7 s USCGS: H = 05 h 10 m 03 s, 49° N, 102° E, äußere Mongolei
206	24.	Ne	—	<1/2	30	—	e 04 h 59 m 05.9 s USCGS: H = 04 h 48 m 15 s, 40° 1/2 N, 78° 1/2 E, W der Provinz Sinkiang (China)
207	24.	Ch Ne Ba	600 740	3 1 4	6 10 6	—	eP 06 h 08 m 28.1 s D eS 06 h 09 m 30.2 s eP 06 h 08 m 42.4 s e 06 h 11 m 03 s eP 06 h 08 m 43.3 s eS 06 h 09 m 59 s BCIS: H = 06 h 07 m 04 s, 42° 4 N, 13° 5 E, Gran Sasso (Italien), verspürt VI.
208	24.	Ch	—	1	<1/2	—	iP 15 h 07 m 45.6 s Lokalbeben
209	25.	Ch	—	1/2	<1/2	—	eP 08 h 55 m 32.6 s Lokalbeben
210	25.	Ch Ne Ba	—	1 3 2	760 90 30	—	ePKP 09 h 55 m 32.5 s K Spur e 10 h 07 m 42 s eL ca. 10 h 37 m 20 s ePKP 09 h 55 m 33.4 s e 09 h 57 m 16.4 s e 10 h 10 m 25 s eL 10 h 38 m 05 s USCGS: H = 09 h 36 m 30 s, 3° S, 144° 1/2 E, bei der Nordküste von Neu-Guinea
211	26.	Ba Ne	8300	1 3	2 30	—	eP 04 h 49 m 58.3 s D eP 04 h 50 m 02.7 s eS 04 h 59 m 39 s USCGS: H = 04 h 38 m 12 s, 54° 1/2 N, 159° 1/2 E, Kamtschatka
212	26.	Zü Ne Ba	—	1/2 1 1	1 1 2	—	eP 14 h 33 m 35.8 s eP 14 h 33 m 45.3 s i 14 h 34 m 08 s eP 14 h 33 m 51.1 s

Nr.	Datum	Station	Epizentral-entfernung nach S-P	Max. Doppel-Amplit.	Ungef. Dauer der Reg.	Tab. I Nr.	Phasen, Bemerkungen
1958							
Juni							
213	26.	Ba	—	1	2	—	eP 19 h 17 m 53.6 s e 19 h 18 m 06 s
214	29.	Ne	—	<1/2	6	—	ePKP 09 h 34 m 22.3 s USCGS: H = 09 h 14 m 37 s, 16° 1/2 S, 172° W, Tonga-Inseln
215	29.	Ne	—	<1/2	6	—	e 13 h 00 m 49.3 s USCGS: H = 12 h 40 m 48 s, 15° 1/2 S, 173° W, Region der Samoa-Inseln
216	30.	Ch Ba Ne	1800 — 1900	50 21 18	10 — 30	—	iP 08 h 46 m 36.4 s K eS 08 h 49 m 36 s Azimut 110° eP 08 h 46 m 50.8 s K e 08 h 58 m 24 s iP 08 h 46 m 53.0 s e 08 h 47 m 05 s eS 08 h 50 m 08 s Azimut 100° BCIS: H = 08 h 42 m 41 s, h ca. 60 km, 36° 5 N, 27° 4 E, Dodekanes-Inseln Verspürt
217	30.	Ch	—	2	<1/2	—	eP 10 h 46 m 09.0 s Lokalbeben
218	30.	Ba	163	2	1	—	eP 13 h 45 m 26.7 s eS 13 h 45 m 46 s
219	30.	Ne	—	1	90	—	e 18 h 39 m 30.1 s USCGS: H = 18 h 26 m 20 s, 31° N, 141° 1/2 E, auf der Breite der Südküste von Hondo, Japan
Juli							
220	1.	Ch	—	1/2	<1/2	—	eP 14 h 48 m 54.0 s schwaches Lokalbeben
221	3.	Ch Ba Ne	—	1/2 1 1	3 3 30	—	eP 05 h 57 m 33.2 s eP 05 h 57 m 33.8 s eP 05 h 57 m 48.7 s USCGS: H = 05 h 45 m 07 s, 18° S, 66° E, Region der Maskarenen-Inseln
222	3.	Ch Ba	—	3 1	2 2	—	e 06 h 47 m 02.1 s D i 06 h 47 m 50.4 s i 06 h 47 m 47.7 s K
223	3.	Ne Ba	—	1 1	3 2	—	e 19 h 15 m 40.2 s eS 19 h 16 m 34 s e 19 h 16 m 08.9 s K e 19 h 16 m 32 s
224	5.	Ch Ba	180 280	<1/2 1	1 3	—	eP 09 h 30 m 41.9 s D iS 09 h 31 m 03.1 s eP 09 h 30 m 59.9 s eS 09 h 31 m 33 s Stuttgart H = 09 h 30 m 20 s, 47° 6 N, 11° 2 E, Explosion von 13.5 t bei Eschenlohe, Bayern
225	6.	Ba	—	1	1	—	e 05 h 36 m 28.8 s eS 05 h 36 m 43 s
226	7.	Ne	—	<1/2	6	—	e 13 h 03 m 08.3 s
227	8.	Ba Ch Ne	—	78 65 19	10 8 30	—	eP 05 h 03 m 15.5 s K e 05 h 03 m 35 s e 05 h 04 m 25 s eP 05 h 03 m 26.8 s K e 05 h 04 m 37.5 s eP 05 h 03 m 30.4 s e 05 h 03 m 43 s e 05 h 04 m 22 s e 05 h 04 m 46 s BCIS: H = 05 h 02 m 26 s, 50° 8 N, 10° 2 E, Thüringerwald (D)
228	8.	Ba	—	2	3	—	e 05 h 13 m 33.7 s e 05 h 14 m 18 s BCIS: H = 05 h 12 m 23 s, Thüringerwald, Nachstoß
229	8.	Ba	—	1	—	—	e 11 h 57 m 01.6 s K e 11 h 57 m 18 s e 11 h 57 m 34 s
230	8.	Ba	170	1	1	—	eP 13 h 56 m 58.1 s eS 13 h 57 m 18 s
231	8.	Ch	—	1/2	<1/2	—	iP 16 h 16 m 18.9 s D iS 16 h 16 m 19.5 s Lokalbeben
232	10.	Ba Ne Ch	8000 8100	72 64 35	>120 90 180	—	eP 06 h 27 m 13.1 s D e 06 h 27 m 21 s e 06 h 36 m 13 s eP 06 h 27 m 14.0 s eS 06 h 36 m 40 s eP 06 h 27 m 16.7 s Spur e 06 h 27 m 19.2 s D eS 06 h 36 m 46 s USCGS: H = 06 h 15 m 51 s, 58° 6 N, 137° 1 W, Südost-Alaska, Schadenbeben
233	10.	Ch	—	1/2	<1/2	—	eP 12 h 47 m 56.6 s iS 12 h 47 m 57.1 s Lokalbeben
234	11.	Ch	—	1	<1/2	—	iP 14 h 09 m 28.9 s Lokalbeben
235	15.	Ch Ba	— 1960	1/2 1	5 4	—	eP 08 h 02 m 58.2 s e 08 h 05 m 39.5 s eP 08 h 03 m 17.1 s eS 08 h 06 m 32 s USCGS: H = 07 h 59 m 18 s, 35° 1/2 N, 23° 1/2 E, bei der Westküste von Kreta
236	17.	Ch Ba Ne	— — —	6 16 10	15 30 30	—	eP 05 h 39 m 57.5 s D e 05 h 43 m 38.5 s eP 05 h 40 m 16.6 s e 05 h 43 m 24 s e 05 h 44 m 16 s eL 05 h 49 m 42 s eP 05 h 40 m 19.5 s e 05 h 44 m 11 s BCIS: H = 05 h 37 m 08 s, 40° 3/4 N, 23° 1/4 E, im Norden von Griechenland
237	18.	Ne Ch	—	<1/2 1/2	3 1/2	—	eP 00 h 52 m 01.8 s eP 00 h 52 m 07 s USCGS: H = 00 h 39 m 18 s, 51° N, 176° 1/2 W, Andranow-Inseln, Aleuten

Nr.	Datum	Station	Epizentral-entfernung nach S-P	Max. Doppel-Amplit.	Ungef. Dauer der Reg.	Tab. I Nr.	Phasen, Bemerkungen
	1958		km	mm	min		
238	18.	Ba	—	1	1	—	e 13 h 45 m 07.5 ML eS 13 h 45 m 16 s
239	19.	Ba	—	1	30	—	e 18 h 36 m 15.2 s eL 19 h 14 m USCGS: H = 18 h 16 m 52 s, 0°, 129° ½ E, Spice Islands
240	20.	Ne	—	11	10	—	eP 19 h 28 m 42.3 s e 19 h 29 m 05 s e 19 h 30 m 09 s e 19 h 30 m 22 s e 19 h 30 m 20 s e 19 h 30 m 41 s
		Ba	—	27	10	—	eP 19 h 28 m 56.8 s e 19 h 29 m 17 s
		Ch	—	7	7	—	eP 19 h 29 m 10.2 s e 19 h 31 m 22.5 s BCIS: H = 19 h 27 m 17 s, 46° 0 N, 1° 2 W, Region der Insel Oléron. Verspürt
241	21.	Ba	9000	1	30	—	eP 07 h 37 m 21.8 s K e 07 h 37 m 31 s eS 07 h 47 m 33 s eP 07 h 37 m 24.9 s USCGS: H = 07 h 24 m 58 s, 44° ½ N, 147° ½ E, Kurilen-Inseln
		Ne	—	1	4	—	
242	21.	Ba	—	1	30	—	eP 14 h 49 m 35.8 s K eL 15 h 31 m
		Ne	—	1	6	—	eP 14 h 49 m 38.7 s USCGS: H = 14 h 37 m 18 s, 51° ½ N, 178° W, Andreanow-Inseln, Aleuten
243	23.	Ch	10200	1/2	60	—	eP 10 h 40 m 19.5 s eS 10 h 51 m 30 s e 10 h 52 m 56 s Spur eL 11 h 20 m 50 s eP 10 h 40 m 30.8 s e 10 h 51 m 26 s eL 11 h 19 m USCGS: H = 10 h 27 m 19 s, 31° N, 142° E, Bonin-Inseln, südl. von Hondo, Japan
		Ba	—	3	30	—	
244	25.	Ne	123	9	2	11	iP 02 h 26 m 06.5 s i 02 h 26 m 09 s iSg 02 h 26 m 21 s Azimut 160°
		Ba	138	7	3	—	ePg 02 h 26 m 17.7 s eSg 02 h 26 m 34 s
		Ch	167	1	2	—	ePg 02 h 26 m 25.2 s K eSg 02 h 26 m 45 s H = 02 h 25 m 53 s, 46° ½ N, 7° ½ E, Wallis, verspürt V.
245	25.	Ba	—	1	2	—	e 03 h 28 m 41.9 s eS 03 h 29 m 01 s
		Ne	—	1	1	—	iP 03 h 29 m 04.3 s
246	25.	Ba	—	1	1	—	e 13 h 45 m 12.1 s eS 13 h 45 m 23 s
247	25.	Ba	48	1	1	—	eP 14 h 53 m 44.7 s K eS 14 h 53 m 50 s
		Ne	107	<1/2	1	—	eP 14 h 53 m 48.3 s e 14 h 53 m 50 s iS 14 h 54 m 00.9 s
248	26.	Ba	—	1	1	—	e 07 h 14 m 44.4 s
249	26.	Ne	—	19	90	—	eP 17 h 49 m 11.5 s e 17 h 58 m 49 s Azimut 250°
		Ba	—	32	30	—	eP 17 h 49 m 14.9 s i 17 h 49 m 23 s e 17 h 58 m 51 s
		Ch	—	74	45	—	eP 17 h 49 m 19.4 s D i 17 h 51 m 38.8 s e 17 h 58 m 53 s USCGS: H = 17 h 37 m 09 s, h ca. 650 km, 13° ½ S, 69° W, Grenze Peru-Bolivien
250	26.	Ch	—	—	—	—	eP 18 h 14 m 38.8 s e 18 h 17 m 04.6 s Bolivien, Nachstoß
251	27.	Ne	121	2	1	—	iP 07 h 23 m 16.6 s i 07 h 23 m 20 s iSg 07 h 23 m 31 s
		Ba	138	1	1	—	ePg 07 h 23 m 28.5 s eSg 07 h 23 m 45 s Nachstoß von Nr. 244
252	29.	Ne	—	1	10	—	eP 21 h 46 m 35.8 s e 21 h 46 m 41 s
		Ba	—	1	4	—	eP 21 h 46 m 36.0 s USCGS: H = 21 h 37 m 25 s, 4° N, 26° ½ W, Atlantischer Ozean
253	30.	Ne	—	<1/2	10	—	eP 02 h 59 m 43.3 s e 03 h 06 m 25 s USCGS: H = 02 h 47 m 17 s, 44° ½ N, 148° ½ E, Kurilen-Inseln
254	30.	Ch	93	4	2	14	eP 12 h 51 m 26.3 s D eS 12 h 51 m 37.3 s
		Ne	152	2	3	—	eP 12 h 51 m 36.1 s eS 12 h 51 m 54 s ML
		Ba	193	13	3	—	eP 12 h 51 m 36.1 s e 12 h 51 m 39 s iS 12 h 51 m 59 s H = 12 h 51 m 10 s, 46° 2 N, 8° 6 E, Valle Onsernone, Tessin, verspürt V
255	1.	Ba	—	1	30	—	e 05 h 56 m 38.9 s e 05 h 56 m 53 s
		Ch	—	1	2	—	e 05 h 56 m 50.5 s
		Ne	—	<1/2	10	—	e 05 h 56 m 55.6 s ML USCGS: H = 05 h 37 m 50 s, h ca. 450 km, 16° S, 176° ½ W, Region der Fidji-Inseln
256	2.	Ba	—	1	<1/2	—	eP 08 h 59 m 49.7 s
257	3.	Ne	—	<1/2	10	—	e 01 h 27 m 33.9 s USCGS: H = 01 h 06 m 24 s, h ca. 550 km, 21° ½ S, 179° W, Region der Fidji-Inseln
258	4.	Ba	79	1	1	—	ePg 08 h 19 m 33.6 s eSg 08 h 19 m 43 s
259	5.	Ba	54	1	<1/2	—	ePg 21 h 47 m 28.6 s eSg 21 h 47 m 35 s

Nr.	Datum	Station	Epizentral-entfernung nach S-P	Max. Doppel-Amplit.	Ungef. Dauer der Reg.	Tab. I Nr.	Phasen, Bemerkungen
	1958		km	mm	min		
260	6.	Ba	—	3	6	—	ePKP 21 h 28 m 58.9 s e 21 h 29 m 06 s
		Ne	—	<1/2	10	—	ePKP 21 h 28 m 59.8 s USCGS: H = 21 h 09 m 09 s, 17° S, 173° W, Tonga-Inseln
261	7.	Ch	—	2	4	—	eP 21 h 58 m 58.8 s D i 21 h 59 m 04.3 s K
262	8.	Ne	—	3	10	—	iP 05 h 31 m 08.3 s e 05 h 33 m 10 s
		Ba	830	6	6	—	eP 05 h 31 m 18.0 s D e 05 h 32 m 44 s e 05 h 33 m 30 s BCIS: H = 05 h 29 m 34 s, 41° 4 N, 2° 8 E, Katalonien
263	8.	Ne	—	8	30	—	iP 20 h 39 m 00.7 s e 20 h 39 m 28 s e 20 h 40 m 34 s e 20 h 40 m 57 s
		Ba	—	16	10	—	eP 20 h 39 m 10.0 s D e 20 h 40 m 16 s BCIS: H = 20 h 37 m 26 s, Katalonien, Nachstoß
264	9.	Ba	—	2	4	—	eP 08 h 39 m 14.5 s
265	9.	Ch	—	1	5	—	e 09 h 36 m 28 s eS 09 h 38 m 23 s
		Ne	—	1	10	—	e 09 h 37 m 12.7 s e 09 h 39 m 46 s BCIS: H = 09 h 34 m 24 s, 43° 1 N, 20° 8 E, Jugoslawien, verspürt VI
266	10.	Ne	—	<1/2	2	—	e 11 h 10 m 16.2 s e 11 h 10 m 45 s
		Ba	—	1	1	—	P 11 h 11 m 14.0 s
267	11.	Ch	—	<1/2	2	—	ePKP 08 h 12 m 56.9 s K
		Ba	—	1	1	—	ePKP 08 h 12 m 57.4 s K
		Ne	—	1	6	—	ePKP 08 h 12 m 59.3 s USCGS: H = 07 h 53 m 12 s, 18° S, 168° ½ E, Neue Hebriden
268	11.	Ba	—	1	1	—	eP 09 h 56 m 28.4 s BCIS: H = 09 h 54 m 03 s, 44° N, 12° E, Etruskischer Apennin, in NE von Florenz
269	11.	Ne	—	<1/2	1	—	eP 12 h 19 m 22.9 s
270	11.	Ba	—	3	1	—	e 13 h 45 m 20.9 s eS 13 h 45 m 39 s
271	12.	Ne	—	<1/2	90	—	e 19 h 44 m 16.2 s e 19 h 53 m 25 s USCGS: H = 19 h 25 m 05 s, 0°, 126° ½ E, Molukken-Straße
272	13.	Ba	—	1	1	—	eP 20 h 25 m 24.4 s
		Ne	9100	1	30	—	eP 20 h 25 m 26.1 s eS 20 h 35 m 45 s USCGS: H = 20 h 13 m 00 s, 51° N, 177° ½ W, Andreanow-Inseln, Aleuten
273	14.	Ne	49	3	2	15	iP 00 h 54 m 45.1 s iS 00 h 54 m 51 s
		Ba	118	1	<1/2	—	eP 00 h 54 m 54.8 s eS 00 h 55 m 10 s Verspürt in Jaun, Kt. Freiburg
274	14.	Ch	3500	<1/2	7	—	eP 11 h 33 m 22.9 s eS 11 h 38 m 30.5 s
		Ne	3650	1	30	—	eP 11 h 33 m 38.6 s eS 11 h 38 m 56 s USCGS: H = 11 h 27 m 00 s, 34° ½ N, 48° E, Persien. Vorläufer von Nr. 276
275	14.	Ne	9100	1	30	—	eP 15 h 07 m 30.5 s eS 15 h 17 m 47 s USCGS: H = 14 h 55 m 10 s, 52° N, 175° W, Andreanow-Inseln, Aleuten
276	14.	Ch	3500	1/2	6	—	eP 15 h 32 m 43.2 s eS 15 h 37 m 50.7 s
		Ba	—	2	—	—	eP 15 h 32 m 55.8 s D eL 15 h 45 m 04 s
		Ne	3500	2	30	—	iP 15 h 32 m 58.9 s eS 15 h 38 m 07 s USCGS: H = 15 h 26 m 19 s, 34° N, 47° ½ E, Grenze Iran-Irak
277	14.	Ne	—	<1/2	1	—	e 23 h 35 m 17.1 s BCIS: H = 23 h 26 m 48 s, h ca. 100 km, 28° ½ N, 64° E, Pakistan
278	15.	Ba	8350	7	30	—	iP 20 h 07 m 30.8 s K eS 20 h 17 m 14 s
		Ch	8350	7	60	—	iP 20 h 07 m 32.4 s eS 20 h 17 m 16 s eL 20 h 35 m
		Ne	8400	7	90	—	iP 20 h 07 m 34.0 s eS 20 h 17 m 20 s Azimut 20° USCGS: H = 19 h 55 m 39 s, h ca. 60 km, 53° N, 160° ½ E, bei der Ostküste von Kamtschatka
279	15.	Ch	12100	2	60	—	eP 22 h 43 m 06.5 s ePP 22 h 47 m 24 s e 22 h 53 m 30 s eL 23 h 21 m
		Ne	12300	3	90	—	eP 22 h 43 m 26.7 s ePP 22 h 47 m 51 s e 22 h 53 m 39 s
		Ba	—	4	30	—	e 22 h 46 m 21.2 s ePP 22 h 47 m 42 s e 22 h 53 m 38 s eL 23 h 08 m 10 s USCGS: H = 22 h 29 m 17 s, h ca. 200 km, 1° ½ N, 125° E, Celebes
280	16.	Ch	56	1	1/2	—	eP 00 h 30 m 41.3 s eS 00 h 30 m 47.9 s
281	16.	Ba	—	1	<1/2	—	e 08 h 30 m 27.6 s eS 08 h 30 m 37 s
282	16.	Ne	8950	<1/2	90	—	eP 13 h 30 m 17.0 s eS 13 h 40 m 27 s USCGS: H = 13 h 17 m 52 s, 51° ½ N, 176° W, Andreanow-Inseln, Aleuten

Nr.	Datum	Station	Epizentral-entfernung nach S-P	Max. Doppel-Amplit.	Ungef. Dauer der Reg.	Tab. I Nr.	Phasen, Bemerkungen
	1958		km	mm	min		
	Aug.						
283	16.	Ch Ba Ne	3500 3600 3650	5 9 7	30 90 90	—	eP 19 h 20 m 06 s ML eS 19 h 25 m 13.3 s eP 19 h 20 m 20.1 s e 19 h 20 m 31 s eS 19 h 25 m 35 s iP 19 h 20 m 21.5 s eS 19 h 25 m 40 s USCGS: H = 19 h 13 m 45 s, 34° 1/2 N, 48° E, Persien, 137 Tote, große Schäden
284	18.	Ch Ne	— 2100	1 1	5 10	—	eP 23 h 58 m 07.8 s e 24 h 00 m 48 s eP 23 h 58 m 22.8 s eS 24 h 01 m 48 s BCIS: H = 23 h 54 m 02 s, 34° 6 N, 26° 0 E, südöstl. der Insel Kreta
285	19.	Ne Ba	45 102	3 3	2 <1/2	—	iP 12 h 35 m 00.5 s iS 12 h 35 m 05.8 s eP 12 h 35 m 10.9 s iS 12 h 35 m 23 s BCIS: H = 12 h 34 m 52 s, 46° 7 N, 7° 4 E, Schweiz (ca. 30 km südl. von Bern)
286	19.	Ba Ne	— —	1 <1/2	1 1	—	eP 14 h 10 m 41.4 s e 14 h 10 m 50 s e 14 h 10 m 51.4 s
287	19.	Ba Ch Ne	— — —	1 1 2	1 1 3	—	eP 16 h 41 m 28.4 s e 16 h 41 m 39 s iP 16 h 41 m 32.0 s K iP 16 h 41 m 33.9 s USCGS: H = 16 h 29 m 44 s, h ca. 100 km, 53° N, 160° E, bei der Ostküste von Kamchatka
288	20.	Ne	—	<1/2	10	—	ePKP 03 h 59 m 46.0 s ePP 04 h 03 m 14 s USCGS: H = 03 h 40 m 07 s, 14° S, 167° E, Neue Hebriden
289	21.	Ch Ne Ba	— — —	1 1 1	2 10 6	—	e 21 h 18 m 30.0 s schwach i 21 h 18 m 37.4 D ePKP 21 h 18 m 31.6 s ePKP 21 h 18 m 32.4 s e 21 h 18 m 37 s USCGS: H = 20 h 59 m 10 s, h ca. 250 km, 18° S, 176° W, Region der Fidji-Inseln
290	22.	Ne	—	1	6	—	ePKP 10 h 16 m 10.7 s USCGS: H = 09 h 56 m 40 s, h ca. 100 km, 15° S, 167° E, Neue Hebriden
291	23.	Ne	—	<1/2	3	—	eP 16 h 16 m 06.7 s
292	25.	Ne Ba	— —	<1/2 1	4 1	—	eP 04 h 11 m 22.3 s eP 04 h 11 m 23.9 s BCIS: H = 04 h 04 m 45 s, Persien, Nachstoß von Nr. 283
293	26.	Ne	—	<1/2	10	—	ePKP 18 h 15 m 14.0 s e 18 h 18 m 49 s USCGS: H = 17 h 55 m 34 s, 14° S, 167° E, Neue Hebriden
294	27.	Ne	—	1	4	—	eP 13 h 21 m 00.1 s USCGS: H = 13 h 09 m 03 s, 53° 1/2 N, 159° 1/2 E, Kamchatka
295	27.	Ch Ne Ba	1250 — —	16 16 54	20 90 30	—	eP 15 h 19 m 41.4 s iS 15 h 21 m 49.4 s eP 15 h 19 m 48.5 s e 15 h 20 m 08 s e 15 h 22 m 44 s e 15 h 24 m 24 s e 15 h 25 m 33 s eP 15 h 19 m 51.5 s e 15 h 21 m 46 s BCIS: H = 15 h 16 m 34 s, 37° 8 N, 20° 5 E, bei der Westküste von Griechenland. Verspürt ca. 120 000 km ²
296	29.	Ch Ba Ne	15 193 210	65 2 2	2 1/2 3	16	iPg 05 h 39 m 35.0 s iSg 05 h 39 m 36.7 s ePg 05 h 40 m 03.2 s ML eSg 05 h 40 m 26 s iPg 05 h 40 m 09.2 s iSg 05 h 40 m 34 s H = 05 h 39 m 31 s, 46° 3/4 N, 9° 1/4 E, Schanfigg (Graubünden), verspürt V
297	30.	Ba	—	1	1	—	eP 09 h 07 m 03 s ML eS 09 h 07 m 12 s
298	31.	Ba Ne	— —	1 1	3 6	—	eP 23 h 11 m 13.0 s eP 23 h 11 m 16.1 s USCGS: H = 23 h 00 m 16 s, 63° N, 144° 1/2 W, Zentrum von Alaska
299	Sept. 2.	Ba Ne	— —	2 1	30 10	—	eP 01 h 17 m 00.5 s D e 01 h 17 m 13 s e 01 h 21 m 43 s e 01 h 17 m 24.2 s BCIS: H = 01 h 13 m 27 s, 37° 7 N, 20° 9 E, Ionisches Meer
300	3.	Ne Ba Ch	5700 5800 —	2 3 1	30 90 30	—	eP 03 s 53 m 34.2 s eS 04 h 00 m 54 s iP 03 h 53 m 37.8 s K e 03 h 54 m 10 s eS 04 h 01 m 03 s eL 04 h 11 m 07 s iP 03 h 53 m 40.7 s D eL 04 h 12 m 43 s BCIS: H = 03 h 44 m 24 s, 0°, 17° 8 W, Atlantischer Ozean
301	4.	Ba Ne	1830 —	1 1	3 10	—	eP 00 h 07 m 05.1 s e 00 h 07 m 15 s eS 00 h 10 m 08 s eP 00 h 07 m 06.1 s USCGS: H = 00 h 03 m 00 s, h ca. 60 km, 37° N, 26° 1/2 E, Dodekanes-Inseln, verspürt

Nr.	Datum	Station	Epizentral-entfernung nach S-P	Max. Doppel-Amplit.	Ungef. Dauer der Reg.	Tab. I Nr.	Phasen, Bemerkungen
	1958		km	mm	min		
	Sept.						
302	4.	Ch Ba	— —	— —	— —	—	eL 22 h 51 m eL 22 h 51.4 m
303	5.	Ba	—	1	1	—	e 13 h 47 m 40.2 s eS 13 h 47 m 45 s
304	8.	Ch Ne Ba	— 325 —	2 <1/2 1	2 4 3	—	eP 04 h 27 m 48.7 s D e 04 h 28 m 18.5 s iP 04 h 28 m 00.1 s e 04 h 28 m 38 s eP 04 h 28 m 05.3 s e 04 h 28 m 33 s BCIS: H = 04 h 27.2 m, ca. 44° 1/4 N, 9° 1/2 E, Ligurischer Apennin (It.)
305	8.	Ba Ne	— —	2 5	3 10	—	eP 05 h 37 m 30.4 s K e 05 h 37 m 47 s e 05 h 38 m 49 s iP 05 h 37 m 34.4 s Azimut 20° USCGS: H = 05 h 25 m 37 s, 51° 1/2 N, 159° E, bei der Ostküste von Kamchatka
306	9.	Ba Ch Ne	— — —	1 1/2 1	2 1 4	—	eP 11 h 44 m 25.5 s K e 11 h 44 m 31 s eP 11 h 44 m 25.6 s K eP 11 h 44 m 28.2 s USCGS: H = 11 h 32 m 05 s, 46° N, 151° E, Kurilen-Inseln
307	9.	Ba Ne	— 104	2 1	2 1	—	e 14 h 19 m 16.9 s e 14 h 19 m 27 s eS 14 h 19 m 30 s iP 14 h 19 m 36.8 s iS 14 h 19 m 49.1 s
308	14.	Ba	—	1	<1/2	—	eP 01 h 59 m 14.4 s D eS 01 h 59 m 16 s Lokalbeben
309	14.	Ba Ch Ne	— 7000 7100	2 1 5	10 40 90	—	eP 14 h 32 m 00.9 s MLe 14 h 43 m 08 s e 14 h 54 m 33 s e 15 h 01 m 06 s eP 14 h 32 m 01.7 s D eS 14 h 40 m 32 s iP 14 h 32 m 06.9 s eS 14 h 40 m 41 s USCGS: H = 14 h 21 m 37 s, 56° 1/2 N, 120° 1/2 E, Region des Stanowoi-Gebirges, Sibirien
310	14.	Ch Ba Ne	— — —	1 1 1	2 4 30	—	eP 21 h 43 m 35.4 s D eP 21 h 43 m 44.5 s D e 21 h 44 m 10 s eP 21 h 43 m 45.1 s BCIS: H = 21 h 31 m 54 s, 7° 1/4 S, 68° E, Region der Chagos-Inseln
311	15.	Ba	—	1	1	—	e 13 h 59 m 43.0 s eS 13 h 59 m 49 s
312	15.	Ne Ba	170 255	2 1	2 1	—	iPg 16 h 22 m 21.0 s eSg 16 h 22 m 41 s ePg 16 h 22 m 35.0 s eSg 16 h 23 m 05 s BCIS: H = 16 h 21 m 52 s, 45° 40' N, 5° 45' E, Chautagne; verspürt V.
313	15.	Ne Ba Ch	122 178 157	12 14 2	3 2 2	17	iPn 19 h 14 m 44.5 s iPg 19 h 14 m 47 s eSn 19 h 14 m 59 s iSg 19 h 15 m 01 s iPg 19 h 14 m 53.0 s K iSg 19 h 15 m 14 s iPn 19 h 14 m 54.9 s D iPg 19 h 14 m 56.8 s K eSn 19 h 15 m 13.7 s H = 19 h 14 m 23 s, 46° N, 7° 3/4 E, Mischabelgruppe, Wallis; verspürt V
314	15.	Ch Ne Ba	— — —	2 1 3	10 30 10	—	e 20 h 02 m 06.4 s e 20 h 02 m 52.4 s eSKS 20 h 08 m 07 s e 20 h 02 m 47.2 s e 20 h 03 m 15 s eSKS 20 h 08 m 18 s e 20 h 02 m 54.5 s eSKS 20 h 08 m 17 s USCG: H = 19 h 45 m 40 s, h ca. 600 km, 2° 1/2 N, 120° 1/2 E, Celebes-See
315	17.	Ne	—	1	3	—	eP 12 h 36 m 10.4 s USCGS: H = 12 h 23 m 50 s, 48° 1/2 N, 155° E, Kurilen-Inseln
316	18.	Ba	—	1	1	—	e 13 h 29 m 05.8 s
317	18.	Ne	—	<1/2	30	—	eP 14 h 51 m 26.7 s USCGS: H = 14 h 41 m 40 s, 0° 1/2 N, 30° W, Atlantischer Ozean
318	20.	Ba	—	1	6	—	e 09 h 16 m 14.7 s K e 09 h 19 m 23 s
319	20.	Ne	—	<1/2	4	—	eP 10 h 43 m 23.3 s USCGS: H = 10 h 43 m 00 s, 15° 1/2 N, 46° W, Atlantischer Ozean
320	20.	Ch Ne	— —	<1/2 <1/2	2 4	—	ePKP 17 h 28 m 37.6 s ePKP 17 h 28 m 39.4 s USCGS: H = 17 h 09 m 24 s, 6° 1/2 S, 154° 1/2 E, Salomon-Inseln
321	22.	Ba	—	2	1	—	eP 13 h 46 m 31.3 s e 13 h 46 m 40 s
322	22.	Ne	—	1	30	—	epPPS 19 h 25 m 48.4 s e 19 h 30 m 11 s USCGS: H = 19 h 05 m 44 s, 33° 1/2 S, 177° 1/2 W, Region der Kermadec-Inseln
323	24.	Ne	—	<1/2	30	—	e 03 h 56 m 06.4 s USCGS: H = 03 h 44 m 14 s, 59° 1/4 N, 143° 1/2 W, Golf von Alaska

Nr.	Datum	Station	Epizentral- entfernung nach S-P	Max. Doppel- Amplit.	Ungef. Dauer der Reg.	Tab. I Nr.	Phasen, Bemerkungen
	1958		km	mm	min		
	Sept.						
324	25.	Ne Ba Ch	6200 6300 6450	3 4 2	90 30 30	—	eP 07 h 29 m 35.1 s eS 07 h 37 m 24 s eP 07 h 29 m 40.8 s D e 07 h 29 m 47 s eS 07 h 37 m 33 s e 07 h 46 m 29 s eL ca. 07 h 48 m USCGS: H = 07 h 20 m 01 s, 9° N, 39° 1/2 W, Atlantischer Ozean
325	26.	Ba	—	1	1	—	e 14 h 09 m 18.4 s K eS 14 h 09 m 23 s
326	27.	Ne Ba	—	1 1	10 3	—	ePKP 14 h 14 m 34.2 s e 14 h 14 m 35.3 s D e 14 h 15 m 34 s USCGS: H = 13 h 55 m 02 s, h ca. 150 km, 15° S, 174° W, Samoa-Inseln
327	30.	Ch Ba Ne	100 254 334	80 160 44	— 10 10	19	iPg 08 h 45 m 41.4 s iSg 08 h 45 m 54.3 s Pn 08 h 46 m 02.9 s MLiP* 08 h 46 m 06 s eS* 08 h 46 m 33 s eP 08 h 46 m 07.5 s iP 08 h 46 m 13 s iS 08 h 46 m 47 s BCIS: H = 08 h 45 m 27 s, 47° 21' N, 10° 34' E, Lechtaler Alpen, Tirol. Das Beben wurde auch in der Schweiz verspürt (V)
328	30.	Ne Ba	214 255	1 3	3 1	—	eP 17 h 05 m 36.8 s eS 17 h 06 m 01 s eP 17 h 05 m 45.9 s K eS 17 h 06 m 16 s BCIS: H = 17 h 05 m 06 s, 47° 2' N, 4° 3' E, Monts du Morvan; verspürt
329	Okt. 1.	Ch Ba Ne	94 — 284	1 1 1	1 2 3	—	eP 05 h 03 m 04.1 s iS 05 h 03 m 15.3 s i 05 h 03 m 17.2 s eP 05 h 03 m 30.9 s K eS 05 h 03 m 53 s e 05 h 03 m 35.5 s eS 05 h 04 m 09 s Nachstoß vom 30. September, 8 h 45 m 27 s (Nr. 327)
330	1.	Ne	—	≤ 1/2	10	—	e 09 h 59 m 46.3 s USCGS: H = 09 h 29 m 43 s, 57° S, 147° E, Antarktischer Ozean im SW von Macquarie-Inseln
331	1.	Ba Ne	— —	1 ≤ 1/2	1 10	—	eP 17 h 59 m 28.8 s D e 17 h 59 m 30.5 s USCGS: H = 17 h 47 m 15 s, 53° N, 165° 1/2 W, Fuchs-Inseln, Aleuten
332	2.	Ba Ne	— 280	2 1	1 3	—	eP 12 h 54 m 35.0 s D e 12 h 55 m 03 s eP 12 h 54 m 43.8 s iS 12 h 55 m 17 s
333	3.	Ba	—	3	1	20	e 15 h 08 m 35.1 s eS 15 h 08 m 41 s
334	4.	Ch Ba Ne	100 229 283	2 3 1	2 2 3	—	eP 23 h 59 m 46.4 s iS 23 h 59 m 58.2 s iP 24 h 00 m 10.0 s K iS 24 h 00 m 37.0 s eP 24 h 00 m 17.3 s S 24 h 00 m 51 s ML Nachstoß von Nr. 332 (2. Oktober)
335	6.	Ba	—	2	1	—	eS 13 h 43 m 56.0 s
336	6.	Ne	—	1	2	—	e 19 h 04 m 31.5 s USCGS: H = 18 h 52 m 40 s, 55° 1/2 N, 162° 1/2 E, Ostküste von Kamtschatka
337	9.	Ne Ba	— —	1 1	3 1	—	eP 13 h 36 m 02.3 s eP 13 h 36 m 04.1 s
338	10.	Ba Ch Ne	— — —	2 — —	4 3 5	—	iP 08 h 42 m 13.1 s e 08 h 42 m 19 s iP 08 h 42 m 15.4 s K iP 08 h 42 m 16.4 s e 08 h 47 m 20 s USCGS: H = 08 h 30 m 17 s, 53° N, 160° E, Ostküste von Kamtschatka
339	11.	Ba Ch Ne	— — —	1 — —	2 1 10	—	eP 02 h 12 m 33 s K eP 02 h 12 m 34.1 s K iP 02 h 12 m 36.6 s USCGS: H = 02 h 00 m 40 s, 53° N, 159° 1/2 E, Ostküste von Kamtschatka
340	12.	Ch Ba	48 —	4 1	<1 1	—	eP 02 h 00 m 50.8 s iS 02 h 00 m 56.6 s e 02 h 01 m 33.5 s eS 02 h 01 m 45 s
341	12.	Ch Ba Ne	— — —	— — —	1 3 10	—	iP? 15 h 30 m 58.3 s D e 15 h 31 m 00.8 s P 15 h 31 m 03.0 s MLK eP 15 h 31 m 04.9 s e 15 h 34 m 36 s USCGS: H = 15 h 18 m 42 s, h ca. 250 km, 27° 1/2 N, 125° 1/2 E, Ostchinesisches Meer
342	13.	Ba Ne	— —	1 1	1 4	—	eP 05 h 46 m 28.3 s D eP 05 h 46 m 29.6 s
343	14.	Ba Ch Ne	— — —	1 1 2	1 1 6	—	eP 09 h 18 m 23.8 s K eP 09 h 18 m 24.3 s K iP 09 h 18 m 26.5 s USCGS: H = 09 h 06 m 24 s, 52° 1/2 N, 159° E, Ostküste von Kamtschatka

Nr.	Datum	Station	Epizentral- entfernung nach S-P	Max. Doppel- Amplit.	Ungef. Dauer der Reg.	Tab. I Nr.	Phasen, Bemerkungen
	1958		km	mm	min		
	Okt.						
344	14.	Ba	—	1	1	—	e 14 h 56 m 10.0 s eS 14 h 56 m 29 s
345	17.	Ch Ba Ne	95 — 280	1 2 1	1 2 3	—	eP 18 h 30 m 40.0 s D eS 18 h 30 m 51.3 s P 18 h 31 m 03.7 M-L eS 18 h 31 m 31 s P 18 h 31 m 03.7 ML eS 18 h 31 m 44 s Nachstoß von Nr. 332 (2. Oktober)
346	20.	Ne Ba	— —	1 2	10 10	—	ePPP 01 h 31 m 00.9 s 01 h 31 m 04.1 s ML USCGS: H = 01 h 12 m 30 s, 9° 1/2 S, 112° 1/2 E, Südküste von Java
347	21.	Ch	—	1/2	≤ 1/2	—	iP 06 h 34 m 46.3 s iS 06 h 34 m 47.0 s Lokalbeben; nicht verspürt
348	21.	Ch	—	1/2	≤ 1/2	—	iP 19 h 36 m 38.9 s iS 19 h 36 m 39.5 s Lokalbeben; nicht verspürt
349	22.	Ba	—	3	1	—	eS 13 h 58 m 45.4 s
350	23.	Ba Ne	— —	1 1	3 10	—	eP 00 h 02 m 23.9 s e 00 h 03 m 16 s e 00 h 02 m 23.9 s USCGS: H = 23 h 42 m 47 s, 14° 1/2 S, 168° E, Neue Hebriden
351	23.	Ne	—	≤ 1/2	4	—	e 06 h 45 m 32.1 s
352	23.	Ne	—	≤ 1/2	6	—	eP 15 h 49 m 28.2 s USCGS: H = 15 h 43 m 00 s, 34° 1/2 N, 47° E, Persien
353	26.	Ne Ba	— —	≤ 1/2 2	10 3	—	eP 00 h 55 m 30.9 s eP 00 h 55 m 30.9 s D S 00 h 56 m 05 s ML BCIS: H = 00 h 54.1 m, 43° 9' N, 12° 9' E, Etruskischer Apennin Verspürt in der Region von Pesaro
354	27.	Ba	—	1	1	—	e 13 h 56 m 47.5 s eS 13 h 56 m 51 s
355	28.	Ne Ba	— —	≤ 1/2 1	2 2	—	e 07 h 23 m 26.9 s eP 07 h 23 m 28.7 s D
356	28.	Ch Ba Ne	— — —	1/2 3 1	1 1/2 30 30	—	eP 10 h 56 m 28.4 s eP 10 h 56 m 38.8 s eL 11 h 18 m 44 s eP 10 h 56 m 40.8 s e 11 h 04 m 57 s USCGS: H = 10 h 46 m 27 s, 30° 1/2 N, 85° E, Süd-Tibet
357	29.	Ba Ch Ne	— — —	— 1/2 1	60-120 2 60-120	—	eP 07 h 56 m 27.3 s eL 08 h 37 m 15 s eP 07 h 56 m 30.6 s K eP 07 h 56 m 30.9 s eS 08 h 06 m 43 s USCGS: H = 07 h 44 m 10 s, 51° 1/2 N, 179° 1/2 E, Andeanow-Inseln, Aläuten
358	31.	Ch Ne Ba	— — —	— ≤ 1/2 1	1 3 2	—	eP 01 h 31 m 45.6 s iS 01 h 31 m 57.9 s eP 01 h 32 m 17.0 s eS 01 h 32 m 50 s e 01 h 32 m 27.6 s eS 01 h 32 m 37 s BCIS: H = 01 h 31 m 27 s, 47° 2' N, 10° 9' E, Nachstoß von Nr. 327 (30. Sept.)
359	31.	Ba	—	1	2	—	e 14 h 54 m 19.8 s eS 14 h 54 m 24 s
360	Nov. 1.	Ne Ba	— —	≤ 1/2 2	6 4	—	ePKP 12 h 28 m 07.7 s ePKP 12 h 28 m 12.8 s USCGS: H = 12 h 08 m 21 s, 17° 1/2 S, 168° E, Neue Hebriden; Vorläufer
361	1.	Ch Ba Ne	— — —	1 1 ≤ 1/2	3 1 2	—	ePKP 12 h 35 m 24.7 s 12 h 36 m 18 s ML ePKP 12 h 35 m 25.8 s ePKP 12 h 35 m 26.9 s USCGS: H = 12 h 15 m 43 s, Neue Hebriden
362	1.	Ba Ne	— —	2 1	3 10	—	ePKP 12 h 36 m 19.3 s ePKP 12 h 36 m 21.4 s e 12 h 39 m 24 s USCGS: H = 12 h 16 m 36 s, 17° 1/2 S, 168° E, Neue Hebriden; Hauptstoß
363	1.	Ba Ne	— —	1 ≤ 1/2	2 4	—	eP 12 h 48 m 50.3 s e 12 h 48 m 56.9 s
364	1.	Ba Ne	— —	2 1	4 10	—	ePKP 16 h 09 m 55.8 s ePKP 16 h 09 m 56.4 s ML USCGS: H = 15 h 50 m 10 s, 17° 1/2 S, 168° E, Neue Hebriden; Nachstoß
365	4.	Ba Ne	— —	1 ≤ 1/2	1 6	—	ePKP 23 h 54 m 35.3 s ePKP 23 h 54 m 35.4 s USCGS: H = 23 h 34 m 50 s, 17° 1/2 S, 168° E, Neue Hebriden
366	5.	Ba Ne	157 47	2 ≤ 1/2	1 1	—	eP 12 h 24 m 54.3 s D iS 12 h 25 m 13 s eP 12 h 25 m 31.4 s eS 12 h 25 m 37 s

Nr.	Datum	Station	Epizentral-entfernung nach S-P	Max. Doppel-Amplit.	Ungef. Dauer der Reg.	Tab. I Nr.	Phasen, Bemerkungen
	1958		km	mm	min		
	Nov.						
367	6.	Ch Ba Ne	8800 8800 8900	>100 > 90 > 90	180 120 120	—	eP 23 h 10 m 27.1 s K i 23 h 10 m 27.6 s K iS 23 h 20 m 35.6 s iP 23 h 10 m 27.8 s eS 23 h 20 m 34 s iP 23 h 10 m 30.6 s eS 23 h 20 m 43 s USCGS: H = 22 h 58 m 10 s, h ca. 100 km, 44° ½ N, 148° ½ E, Kurilen-Inseln
368	6.	Ba Ne	—	2 1	3 4	—	eP 23 h 26 m 39.0 s } Nachstoß eP 23 h 26 m 43.3 s }
369	7.	Ba Ne	—	— 1	— 3	—	00 h 48 m 34.2 s iP 00 h 48 m 42.5 s USCGS: H = 00 h 36 m 12 s, 44° N, 149° E, Kurilen-Inseln; Nachstoß
370	7.	Ba Ne	—	— 1	— 3	—	00 h 50 m 11.5 s } Nachstoß eP 00 h 50 m 20.8 s }
371	7.	Ba	—	—	—	—	00 h 51 m 46.2 s
372	7.	Ba Ne	—	— ≤ 1/2	— 4	—	01 h 14 m 21.5 s eP 01 h 14 m 29.5 s USCGS: H = 01 h 01 m 58 s, 44° N, 148° ½ E, Kurilen-Inseln, Nachstoß
373	7.	Ba Ne	—	— ≤ 1/2	— 2	—	01 h 26 m 06.5 s e 01 h 26 m 14.3 s USCGS: H = 01 h 13 m 46 s, 45° N, 149° E, Kurilen-Inseln, Nachstoß
374	7.	Ba Ne	—	— 1	— 6	—	01 h 55 m 18.4 s eP 01 h 55 m 25.8 s USCGS: H = 01 h 42 m 56 s, 44° ½ N, 149° E, Kurilen-Inseln, Nachstoß
375	7.	Ba	—	—	—	—	01 h 57 m 22.2 s Nachstoß
376	7.	Ba Ne	—	— 1	— 4	—	02 h 07 m 56.1 s eP 02 h 08 m 04.1 s USCGS: H = 01 h 55 m 33 s, 44° ½ N, 149° E, Kurilen-Inseln, Nachstoß
377	7.	Ba Ne	—	— ≤ 1/2	— 3	—	02 h 22 m 35.0 s } Nachstoß eP 02 h 22 m 43.6 s }
378	7.	Ba Ne	—	— ≤ 1/2	— 3	—	03 h 03 m 11.2 s eP 03 h 03 m 17.9 s USCGS: H = 02 h 50 m 54 s, 44° ½ N, 149° E, Kurilen-Inseln, Nachstoß
379	7.	Ba Ne	—	— ≤ 1/2	— 6	—	eP 05 h 12 m 18.6 s e 05 h 12 m 31 s eP 05 h 12 m 21.4 s USCGS: H = 04 h 59 m 56 s, 44° ½ N, 149° E, h = 60 km, Kurilen-Inseln, Nachstoß.
380	7.	Ba Ne	—	— 1	— 6	—	eP 07 h 52 m 38.6 s e 07 h 53 m 02 s K iP 07 h 53 m 04.4 s e 07 h 53 m 21 s USCGS: H = 07 h 40 m 36 s, 44° ½ N, 149° E, Kurilen-Inseln, Nachstoß
381	7.	Ne	—	—	—	—	iP 08 h 16 m 28.5 s
382	7.	Ne	—	— ≤ 1/2	— 3	—	e 10 h 41 m 46.1 s USCGS: H = 10 h 29 m 17 s, 44° N, 148° E, Kurilen-Inseln, Nachstoß
383	7.	Ba Ne	—	— 1	— 10	—	eP 11 h 36 m 46.1 s K eP 11 h 36 m 49.0 s USCGS: H = 11 h 24 m 25 s, 44° ½ N, 149° ½ E, h = 60 km, Kurilen-Inseln, Nachstoß
384	7.	Ba Ne	—	— ≤ 1/2	— 4	—	eP 19 h 27 m 00.1 s eP 19 h 27 m 01.8 s USCGS: H = 19 h 14 m 31 s, 44° ½ N, 149° ½ E, Kurilen-Inseln, Nachstoß
385	8.	Ba Ch Ne	— — 8750	— — 8	— — 60-120	—	eP 09 h 34 m 56.4 s iP 09 h 34 m 57.9 s K Azimut 10°-20° iP 09 h 34 m 59.8 s eS 09 h 45 m 01 s
386	10.	Ne	43	— ≤ 1/2	— 1	—	eP 15 h 14 m 13.9 s eS 15 h 14 m 19 s
387	11.	Ne Ba	—	— ≤ 1/2 1	— 4 1	—	e 04 h 40 m 13.3 s e 04 h 41 m 36 s eP 04 h 41 m 33.8 s
388	11.	Ba	—	—	—	—	eS 13 h 54 m 31.3 s
389	12.	Ba Ch Ne	9000 9000 9000	— — 15	— — 60-120	—	eP 20 h 35 m 51.9 s eS 20 h 46 m 07 s eP 20 h 35 m 52.8 s K sehr schwach eS 20 h 46 m 07.6 s P 20 h 35 m 55.1 s ML e 20 h 39 m 30 s e 20 h 41 m 15 s eS 20 h 46 m 10 s BCIS: H = 20 h 23 m 32 s, 44° ½ N, 148° ½ E, Kurilen-Inseln, Nachstoß

Nr.	Datum	Station	Epizentral-entfernung nach S-P	Max. Doppel-Amplit.	Ungef. Dauer der Reg.	Tab. I Nr.	Phasen, Bemerkungen
	1958		km	mm	min		
	Nov.						
382	13.	Ba Ne	— 9000	— 3 1	— 4 30	—	eP 04 h 17 m 02.6 s e 04 h 17 m 19 s eP 04 h 17 m 05.1 s eS 04 h 27 m 20 s BCIS: H = 04 h 04 m 43 s, Kurilen-Inseln, Nachstoß
383	13.	Ne	—	— ≤ 1/2	— 2	—	e 16 h 29 m 03.5 s
384	14.	Ba Ne	—	— ≤ 1/2	— 4	—	eP 05 h 47 m 19.2 s e 05 h 47 m 21.1 s USCGS: H = 05 h 34 m 53 s, 44° N, 149° E, Kurilen-Inseln, Nachstoß
385	14.	Ne	31	—	—	—	iP 12 h 39 m 36.4 s eS 12 h 39 m 40 s
386	14.	Ne	—	— ≤ 1/2	— 6	—	ePKP 14 h 07 m 09.7 s USCGS: H = 13 h 48 m 20 s, 6° S, 131° E, Banda-Meer
387	15.	Ch Ba Ne	1380 — 1500	— — 3 2	— — 10 10	—	eP 05 h 45 m 49.5 s D schwach i 05 h 45 m 50.5 s K eS 05 h 48 m 04.7 s eP 05 h 46 m 08.0 s e 05 h 49 m 23 s P 05 h 46 m 07.8 s ML e 05 h 46 m 14 s e 05 h 46 m 30 s eS 05 h 48 m 39 s BCIS: H = 05 h 42 m 40 s, 37° 5 N, 21° 5 E, auf der Breite des Peloponnes, Griechenland
388	15.	Ba Ch Ne	— — 8950	— — ≤ 1/2 1	— — 30 2 30	—	P 09 h 13 m 07.8 s ML eS 09 h 23 m 20 s eP 09 h 13 m 10.8 s K eP 09 h 13 m 13.1 s eS 09 h 23 m 25 s USCGS: H = 09 h 00 m 45 s, 44° N, 149° E, Kurilen-Inseln, Nachstoß
389	16.	Ne Ba	—	— ≤ 1/2 1	— 10 1	—	e 04 h 59 m 57.5 s eP 05 h 00 m 04.4 s USCGS: H = 04 h 47 m 31 s, 44° ½ N, 149° E, Kurilen-Inseln
390	16.	Ba	—	—	—	—	eP 06 h 27 m 55.1 s
391	16.	Ba Ne	—	— 2 1	— 6 6	—	ePKP 18 h 04 m 35.4 s e 18 h 06 m 08 s ePKP 18 h 04 m 40.4 s USCGS: H = 17 h 44 m 48 s, 16° S, 172° W, Region der Samoa-Inseln
392	16.	Ba Ne	—	— ≤ 1/2	— 3 4	—	ePKP 18 h 22 m 16.9 s ePKP 18 h 22 m 17.8 s USCGS: H = 18 h 02 m 25 s, 20° S, 169° E, Loyalty-Insel
393	17.	Ne	—	— ≤ 1/2	— 3	—	e 15 h 46 m 54.5 s
394	17.	Ch Ne Ba	—	— — 2	— — 3	—	eP 20 h 52 m 57.4 s D eP 20 h 53 m 07.0 s e 20 h 53 m 43 s eP 20 h 53 m 34.6 s D e 20 h 54 m 34 s
395	19.	Ch Ba Ne	—	— — 1	— — 6	—	iP 09 h 36 m 12.9 s K eP 09 h 36 m 13.2 s K e 09 h 36 m 28 s eP 09 h 36 m 15.8 s USCGS: H = 09 h 23 m 45 s, 44° N, 149° E, Kurilen-Inseln
396	20.	Ba Ne	—	— 1 1	— 1 4	—	eP 05 h 48 m 35.6 s eP 05 h 48 m 38.3 s BCIS: H = 05 h 36 m 31 s, 52° N, 158° ½ E, Süd-Kamtschatka
397	20.	Ne	—	— ≤ 1/2	— 10	—	e 13 h 43 m 06.0 s
398	20.	Ba Ne	—	— 1 1	— 2 10	—	eP 14 h 30 m 20.7 s eP 14 h 30 m 26.2 s USCGS: H = 14 h 18 m 04 s, 45° N, 149° ½ E, h = 60 km, Kurilen-Inseln
399	24.	Ch	—	—	—	—	eP ? 13 h 51 m 35.4 s e 13 h 52 m 45.5 s e 13 h 53 m 11.4 s Spuren, fraglich ob Beben oder evtl. andere Störungen
400	25.	Ne Ch Ba	—	— — 1 1/2 33	— — 9 10	—	eP 02 h 25 m 31.6 s e 02 h 25 m 52 s e 02 h 27 m 05 s e 02 h 27 m 15 s eP 02 h 25 m 52.6 s e 02 h 28 m 03.3 s eP 02 h 25 m 56.4 s i 02 h 26 m 04.4 s e 02 h 27 m 18 s e 02 h 27 m 36 s BCIS: H = 02 h 23.9 m, 42° 0 N, 0° 3 E, Pyrenäen; leichte Schäden Verspürt in SW-Frankreich bis Bordeaux.
401	26.	Ba	88	—	—	—	eP 13 h 54 m 03.5 s D eS 13 h 54 m 14 s
402	28.	Ba Ne	— 218	— — ≤ 1/2	— — 3	—	eP 20 h 45 m 58.3 s eS 20 h 45 m 38 s eS 20 h 46 m 24 s

Nr.	Datum	Station	Epizentral-entfernung nach S-P	Max. Doppel-Amplit.	Ungef. Dauer der Reg.	Tab. I Nr.	Phasen, Bemerkungen
			km	mm	min		
	1958						
403	Nov. 30.	Ba Ne	— —	1 ≤ 1/2	1 30	—	eP 01 h 45 m 47.2 s eP 01 h 45 m 50.8 s e 01 h 49 m 27 s USCGS: H = 01 h 32 m 41 s, 32° N, 137° 1/2 E, südlich von Honshu, Japan
404	30.	Ne Ba	34 57	5 5	3 3	—	iP 08 h 06 m 52.7 s iS 08 h 06 m 56.8 s Azimut 30° eP 08 h 06 m 54.2 s D iS 08 h 07 m 01 s
405	Dez. 1.	Ba	30	1	2	—	eP 13 h 53 m 45.4 s D eS 13 h 53 m 49 s
406	4.	Ch Ne Ba	85 118 100	1/2 1 2	1 1/2 2 1	25	eP 03 h 05 m 42.9 s i 03 h 05 m 47.2 s eS 03 h 05 m 53 s eP 03 h 05 m 50.9 s eS 03 h 06 m 05 s eP 03 h 05 m 53.4 s K iS 03 h 06 m 05.5 s H = 03 h 05.5 m, 46° 50 N, 8° 30 E, Engelberger Rotstock Verspürt in: Nessental (IV), Oberwald [VS] (IV), Innertkirchen (III-IV), Meiringen, Mühlebach [VS], Fiesch [VS].
407	5.	Ba	—	1	2	—	iS 14 h 28 m 28.3 s
408	6.	Ne Ba	— —	1 1	10 1	—	eP 09 h 46 m 24.8 s eP 09 h 46 m 28.5 s USCGS: H = 09 h 33 m 45 s, 6° 1/2 N, 83° W, im Süden von Panama
409	8.	Ch Ba Ne	42 — —	2 1/2 1 ≤ 1/2	1 2 2	—	iP 09 h 02 m 05.6 s D eS 09 h 02 m 10.5 s keine makroseism. Meldungen e 09 h 02 m 34.7 s eS 09 h 02 m 59 s e 09 h 03 m 03.5 s ML
410	8.	Ba Ne	— —	1 1	1 6	—	eP 12 h 20 m 48.1 s eP 12 h 20 m 50.7 s USCGS: H = 12 h 08 m 23 s, 44° N, 149° 1/2 E, Kurilen-Inseln
411	9.	Ne	—	1	3	—	e 08 h 58 m 55.5 s
412	9.	Ne Ba	— —	1 1	6 1	—	eP 20 h 46 m 07.3 s eP 20 h 46 m 10.9 s D BCIS: H = 20 h 40.0 m, 35° N, 45° E
413	10.	Ba Ne	— —	1 1	1 6	—	eP 03 h 52 m 09.0 s eP 03 h 52 m 12.3 s USCGS: H = 03 h 43 m 33 s, 37° N, 71° E, Hindukusch
414	10.	Ch Ba	— —	≤ 1/2 35	1 10	—	eP 07 h 22 m 31.5 s K eP 07 h 22 m 33.3 s i 07 h 22 m 40 s eS 07 h 34 m 33 s USCGS: H = 07 h 02 m 59 s, 37° S, 176° 1/2 E, Nord-Neuseeland
415	10.	Ch Ne	2050 2100	3 3	7 30	—	iP 07 h 23 m 37.8 s eS 07 h 27 m 20.8 s eP 07 h 23 m 42.3 s eS 07 h 27 m 30 s
416	11.	Ne	—	≤ 1/2	6	—	eP 08 h 57 m 06.7 s mikroseism. Unruhe
417	11.	Ba	—	1	1	—	e 13 h 54 m 20.3 s eS 13 h 54 m 26 s
418	12.	Ba	22	6	2	—	eP 13 h 00 m 52.3 s eS 13 h 00 m 55 s
419	12.	Ba	—	1	1	—	eS 15 h 01 m 27.0 s D
420	16.	Ne Ba	71 —	1 1	1 1	—	eP 17 h 32 m 04.9 s iS 17 h 32 m 13.3 s eS 17 h 32 m 23.7 s
421	18.	Ne Ba	30 —	1 1	1 1	26	eP 22 h 33 m 52.8 s iS 22 h 33 m 56.3 s eS 22 h 34 m 06.4 s
422	19.	Ne	—	≤ 1/2	3	—	eP 18 h 48 m 47.2 s USCGS: H = 18 h 36 m 23 s, 51° 1/2 N, 177° 1/2 W, Andreanow-Inseln, Aläuten
423	21.	Ch Ne Ba	— — —	1 1/2 12 1	30 30 6	—	eP 05 h 55 m 10.4 s K eL? ca. 06 h 11 m eP 05 h 55 m 20.4 s e 06 h 12 m 53 s eP 05 h 55 m 20.5 s e 05 h 55 m 24 s e 05 h 57 m 30 s
424	21.	Ba	—	47	30	—	e 06 h 04 m 04.0 s e 06 h 12 m 20 s e 06 h 13 m 05 s
425	23.	Ne Ba	95 153	5 4	2 2	—	iP 07 h 01 m 34.6 s eS 07 h 01 m 46 s i 07 h 01 m 48.7 s eP 07 h 01 m 43.0 s K eS 07 h 02 m 01 s
426	24.	Ne	—	≤ 1/2	6	—	e 20 h 55 m 08.9 s USCGS: H = 20 h 35 m 20 s, 18° S, 169° E, Neue Hebriden
427	25.	Ch Ne Ba	— — —	≤ 1/2 ≤ 1/2 1	2 10 1	—	eP 08 h 24 m 40.3 s eP 08 h 24 m 43.9 s eP 08 h 24 m 46.2 s USCGS: H = 08 h 05 m 33 s, 5° 1/2 S, 151° 1/2 E, Neu-Britannien

Nr.	Datum	Station	Epizentral-entfernung nach S-P	Max. Doppel-Amplit.	Ungef. Dauer der Reg.	Tab. I Nr.	Phasen, Bemerkungen
			km	mm	min		
	1958						
428	Dez. 25.	Ba Ne	— —	1 ≤ 1/2	1 3	—	eP 18 h 03 m 28.7 s D e 18 h 03 m 34 s eP 18 h 02 m 45.7 s e 18 h 03 m 12 s i 18 h 03 m 15.7 s
429	28.	Ba Ne Ch	— — —	3 1 2 1/2	10 60-120 4	—	iP 05 h 44 m 28.3 s K e 05 h 45 m 57 s eP 05 h 44 m 30.3 s e 05 h 52 m 27 s eP 05 h 45 s 16.0 s ML USCGS: H = 05 h 34 m 36 s, 29° 1/2 N, 80° E, Grenze Indien-Nepal
430	31.	Ch	—	≤ 1/2	1	—	eP 02 h 05 m 03.7 s nur Spuren auf Z

Schweizerische Literatur zur Geophysik im Jahre 1958

- Andree, Charles*: La prévision des températures souterraines. [Diagr. & tabl.] — Ann. ponts-chaussées, Paris, 1958, No 1, p. 37—85.
- Baeschlin, Carl, Fridolin*: Nivellement und Schwere [Fig.] — Schweiz. Ztschr. Vermessung, Jg. 56, 1958, Nr. 1, S. 1—8; Nr. 2, S. 33—36.
- Eugster, Jakob*: Neutron measurements at great underground depths. [Tab.] — Rev. sci. Instrum. Lancaster, vol. 25, 1954, No. 1, p. 5—7.
- Gassmann, Fritz*: Über Herde elastischer Wellen in isotropen homogenen Medien. — Geofis. pura e appl., Milano, vol. 40, 1958/II, p. 55—77. Mitt. Inst. Geophys. ETH Nr. 34, Zürich 32.
- Guyot, Edmond*: Figure de la terre et pesanteur. [Fig., diagr. et tabl.]. — Rev. int. Horlog., année 59, 1958, No 2, p. 8—15.
- Hunziker, Erwin*: Auszug aus dem Bericht über im Herbst 1957 ausgeführte Gravimetermessungen. [Tab.] — Procès-verbal 103^e séance Comm. géodés. Suisse, Berne 1958, p. 21—27.
- Montandon, Frédéric*: Les grandes catastrophes causées par les forces de la nature en 1956 et 1957. — Rev. p. l'étude des calamités, t. 16, 1956/57, No 34/35, p. 47—53.
- Niedermann, A.*: Über Deklination, Inklination und andere störende Faktoren bei Bussolen und Kompassen. [Fig.] — Schweizer Optiker, Jg. 34, 1958, Nr. 1, S. 21—23; Nr. 3, S. 59—61.
- Oulianoff, Nicolas*: Géologie. — Sédimentologie et Géophysique. — C.R. séances acad. sci., Paris, t. 247, 1958, p. 313—315.
- Oulianoff, Nicolas*: Répercussion des phénomènes géophysiques sur la sédimentation marine. — Actes soc. helv. sci. nat., 138^e session annuelle, Glaris 1958, p. 109—111.
- Oulianoff, Nicolas*: Sédimentologie. — Effet des vibration expérimentales sur la sédimentation. — C. R. séances Acad. sci., Paris, t. 247, 1958, p. 2404—2407.
- Sübtrunk, August, E.*: Fortschritte der Erdölgeophysik. — Bull. Ver. Schweiz. Petrol.-Geol. u. Ing., Vol. 24, 1957, Nr. 67, S. 53—61.
- Weber, Max*: Die Interpretation von seismischen Reflexionsmessungen mit abgebrochenen Potenzreihen. [Tab.] — Geofis. pura e appl. Milano, vol. 40, 1958/II, p. 19—35. Mitt. Inst. Geophys. ETH Nr. 34, Zürich 32.
- Auszug aus: Bibliographia Scientiae Naturalis Helvetica, Vol. 34, 1958 [Bernae, apud Bibliothecam Nationalem 1960].

In der Schweiz im Jahre 1958 verspürte Erdbeben.

GMT

